


2020

Weekly / Semanal **Influenza Report EW 10/ Reporte de Influenza SE 10**

Regional Update: Influenza & Other Respiratory Viruses /
Actualización Regional: Influenza y Otros virus respiratorios



March 17, 2020
17 de marzo de 2020

*Data as of March 13, 2020/
Datos hasta el 13 de marzo de 2020*

*Prepared by PHE/IHM/Influenza Team/
Realizado por PHE/IHM/Equipo de Influenza*

WEEKLY REPORT DATA SOURCES

The information presented in this update is based on data provided by Ministries of Health and National Influenza Centers of Member States to the global informatics platforms http://www.who.int/influenza/gisrs_laboratory/flunet/en/ and http://www.who.int/influenza/surveillance_monitoring/fluid/en/; and reports/weekly bulletins that Ministries of Health published on its website or shared with PAHO/WHO.

La información presentada en esta actualización se obtiene a partir de los datos notificados por los Ministerios de Salud y los Centros Nacionales de Influenza de los Estados Miembros a las plataformas informáticas globales de la OPS/OMS: [FluNet](#) y [FluID](#); y de los informes/boletines semanales que los Ministerios de Salud publican en sus páginas web o comparten con OPS/OMS.

PAHO INFLUENZA LINKS

PAHO interactive data / Datos interactivos de la OPS:

PAHO FluNet: http://ais.paho.org/hip/viz/ed_flu.asp

PAHO FluID: <http://ais.paho.org/hip/viz/flumart2015.asp>

Influenza regional reports / Informes regionales de influenza

In English: <https://www.paho.org/hq/influenzareport>

En español: www.paho.org/reportesinfluenza

**Severe acute respiratory infections network - SARInet
Red de las infecciones respiratorias agudas graves - SARInet:**

<http://www.sarinet.org>

[Go to Index/
Ir al Índice](#)

REPORT INDEX

ÍNDICE DE LA ACTUALIZACIÓN

Section	Content	Page
1	Weekly Summary / Resumen Semanal	4
2	Influenza Global Update 362/ Actualización de influenza a nivel mundial 362	6
3	Influenza Human-Animal Interface Update / Actualización de Influenza en la Interfase Humano-Animal	
4	Overall Influenza and RSV circulation / Circulación general de los virus influenza y VRS	7
5	Weekly and Cumulative numbers / Números semanales y acumulados	8
6	Epidemiological and Virologic updates by country / Actualización epidemiológica y virológica por país	9
7	Acronyms / Acrónimos	41

WEEKLY SUMMARY (ENGLISH)

North America: Influenza activity remained high in the subregion. In [Canada](#), influenza A(H1N1)pdm09 predominated; severity indicators remained below levels observed in previous seasons. In the [United States](#) influenza A(H1N1)pdm09 viruses predominated and hospitalizations and deaths were below expected levels in comparison to the previous season. In [Mexico](#), influenza activity continue to decrease with influenza A(H1N1)pdm09 virus predominance; laboratory-confirmed influenza cases and SARI/ILI influenza-related cumulative deaths were below levels observed in the previous season for the same period of the year.

Caribbean: Overall, influenza activity is elevated in the sub-region. In [Cuba](#), influenza activity increased with influenza A and B viruses co-circulating. Influenza activity continued increased in [Belize](#) with influenza A(H1N1)pdm09 and influenza B viruses co-circulating. All the [French Territories](#) are in the epidemic phase with a continued increase in influenza activity observed in Guadeloupe and Martinique. In French Guiana influenza activity increased. In the [Dominican Republic](#), influenza activity slightly increased with influenza A(H1N1)pdm09 predominance and influenza B/Yamagata co-circulating; In [Saint Lucia](#), influenza-like illness is above the epidemic threshold with influenza A(H1N1)pdm09 virus circulating in recent weeks.

Central America: Influenza and other respiratory virus activity remained low in the sub-region; influenza A(H1N1)pdm09 and B cocirculated.

Andean: Overall, influenza and other respiratory virus activity remained low in the sub-region; influenza A(H1N1)pdm09 predominated and severity indicators remained below as compared with previous seasons.

Brazil and Southern Cone: Influenza and other respiratory virus activity was low in the subregion with influenza A(H1N1)pdm09 virus predominated.

Global: In the temperate zone of the northern hemisphere, respiratory illness indicators and influenza activity appeared to decrease overall. In Europe, influenza activity remained elevated overall, though appeared to have peaked in some countries. In Central Asia, influenza activity decreased with detections of all seasonal influenza subtypes. In Northern Africa, influenza activity continued to increase in Algeria and Tunisia, with detections of influenza A(H1N1)pdm09 and B viruses. In Western Asia, influenza activity decreased in most countries, except in Armenia, Azerbaijan and Qatar. In East Asia, influenza-like illness (ILI) and influenza activity decreased overall. Africa, influenza detections were low across reporting countries. In Southern Asia, increased influenza activity was reported in Bhutan. In South East Asia, influenza activity continued to be reported in some countries. In the temperate zones of the southern hemisphere, influenza activity remained at inter-seasonal levels. Globally, seasonal influenza A viruses accounted for the majority of detections.

RESUMEN SEMANAL (ESPAÑOL)

América del Norte: la actividad de influenza se mantuvo alta en la subregión. En [Canadá](#), predominó la influenza A (H1N1) pdm09, los indicadores de severidad permanecieron debajo de los niveles observados en previas temporadas. En los [Estados Unidos](#) predominaron los virus influenza A(H1N1)pdm09 y las hospitalizaciones y muertes estuvieron por debajo de los niveles esperados en comparación con la temporada anterior. En [México](#), la actividad de la influenza continúa en disminución con el predominio del virus influenza A(H1N1)pdm09; los casos de influenza confirmados por laboratorio y las muertes por IRAG / ETI acumuladas relacionadas con influenza estuvieron por debajo de los niveles observados en la temporada anterior durante el mismo período del año.

Caribe: en general, la actividad de influenza es elevada en la subregión. En [Cuba](#), la actividad de influenza aumentó con los virus influenza A y B en circulación. La actividad de influenza continuó aumentando en [Belice](#) con la circulación concurrente de los virus influenza A(H1N1)pdm09 e influenza B. Todos los [Territorios Franceses](#) se encuentran en la fase epidémica con un aumento continuo de la actividad de la influenza en Guadalupe y Martinica. En Guyana Francesa, la actividad de la influenza aumentó. En la [República Dominicana](#), la actividad de la influenza aumentó ligeramente con el predominio de la influenza A(H1N1)pdm09 y la circulación concurrente de influenza B / Yamagata. En [Santa Lucía](#), la enfermedad similar a la influenza está por encima del umbral epidémico con la circulación del virus influenza A(H1N1)pdm09 en las últimas semanas.

América Central: la actividad de la influenza y de otros virus respiratorios se mantuvieron bajas en la subregión con circulación concurrente de influenza A(H1N1)pdm09 y B.

Andina: en general, la actividad de la influenza y otros virus respiratorios se mantuvo baja en la subregión; predominó la influenza A(H1N1) pdm09 y los indicadores de gravedad se mantuvieron bajos en comparación con temporadas previas.

Brasil y Cono Sur: la actividad de la influenza y otros virus respiratorios fue baja en la subregión con predominio del virus influenza A(H1N1)pdm09.

Global: en general en la zona templada del hemisferio norte, los indicadores de enfermedades respiratorias y la actividad de la influenza parecieron disminuir. En Europa, la actividad de la influenza se mantuvo elevada en general, aunque parece haber alcanzado su punto máximo en algunos países. En Asia central, la actividad de la influenza disminuyó con las detecciones de todos los subtipos de influenza estacional. En el norte de África, la actividad de la influenza continuó aumentando en Argelia y Túnez, con detecciones de los virus influenza A(H1N1)pdm09 y B. En Asia occidental, la actividad de la influenza disminuyó en la mayoría de los países, excepto en Armenia, Azerbaiyán y Qatar. En el este de Asia, la enfermedad tipo influenza (ETI) y la actividad de la influenza disminuyeron en general. En África, las detecciones de influenza estuvieron bajas en todos los países informantes. En el sur de Asia, se informó un aumento de la actividad de la influenza en Bután. En el sudeste asiático, la actividad de la influenza continuó siendo reportada en algunos países. En las zonas templadas del hemisferio sur, la actividad de la influenza se mantuvo en niveles interestacionales. A nivel mundial, los virus A de la influenza estacional representaron la mayoría de las detecciones.

Influenza Global Update 363 / Actualización de influenza a nivel mundial 363
16 March 2020 / 16 de marzo de 2020
Based on data up to March 1, 2020 / basado en datos hasta el 1 de marzo de 2020

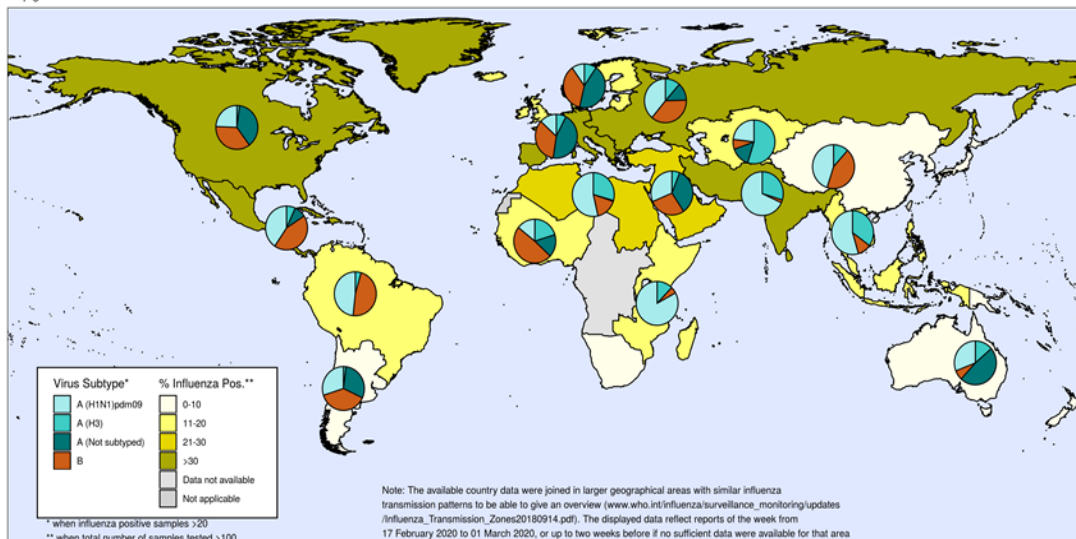
Global Level /
Nivel Mundial

In the temperate zone of the northern hemisphere, respiratory illness indicators and influenza activity appeared to decrease overall. In Europe, influenza activity remained elevated overall, though appeared to have peaked in some countries. In Central Asia, influenza activity decreased with detections of all seasonal influenza subtypes. In Northern Africa, influenza activity continued to increase in Algeria and Tunisia, with detections of influenza A(H1N1)pdm09 and B viruses. In Western Asia, influenza activity decreased in most countries, except in Armenia, Azerbaijan and Qatar. In East Asia, influenza-like illness (ILI) and influenza activity decreased overall. Africa, influenza detections were low across reporting countries. In Southern Asia, increased influenza activity was reported in Bhutan. In South East Asia, influenza activity continued to be reported in some countries. In the temperate zones of the southern hemisphere, influenza activity remained at inter-seasonal levels. Globally, seasonal influenza A viruses accounted for the majority of detections. / En general en la zona templada del hemisferio norte, los indicadores de enfermedades respiratorias y la actividad de la influenza parecieron disminuir. En Europa, la actividad de la influenza se mantuvo elevada en general, aunque parece haber alcanzado su punto máximo en algunos países. En Asia central, la actividad de la influenza disminuyó con las detecciones de todos los subtipos de influenza estacional. En el norte de África, la actividad de la influenza continuó aumentando en Argelia y Túnez, con detecciones de los virus influenza A(H1N1)pdm09 y B. En Asia occidental, la actividad de la influenza disminuyó en la mayoría de los países, excepto en Armenia, Azerbaiyán y Qatar. En el este de Asia, la enfermedad tipo influenza (ETI) y la actividad de la influenza disminuyeron en general. En África, las detecciones de influenza estuvieron bajas en todos los países informantes. En el sur de Asia, se informó un aumento de la actividad de la influenza en Bután. En el sudeste asiático, la actividad de la influenza continuó siendo reportada en algunos países. En las zonas templadas del hemisferio sur, la actividad de la influenza se mantuvo en niveles interestacionales. A nivel mundial, los virus A de la influenza estacional representaron la mayoría de las detecciones.

National Influenza Centres (NICs) and other national influenza laboratories from 111 countries, areas or territories reported data to FluNet for the time period from 17 February 2020 to 1 March 2020. The WHO GISRS laboratories tested more than 233445 specimens during that time period. A total of, 62 423 were positive for influenza viruses, of which 42 013 (67.3%) were typed as influenza A and 20 410 (32.7%) as influenza B. Of the sub-typed influenza A viruses, 7348 (74.5%) were influenza A(H1N1)pdm09 and 2516 (25.5%) were influenza A(H3N2). Of the characterized B viruses, 18 (1.1%) belonged to the B-Yamagata lineage and 1574 (98.9%) to the B-Victoria lineage. / Los Centros Nacionales de Influenza (NIC) y otros laboratorios nacionales de influenza de 111 países, áreas o territorios reportaron sus datos a FluNet para el período comprendido entre el 17 de febrero y el 1 de marzo de 2020. Los laboratorios GISRS de la OMS analizaron más de 233.445 muestras durante ese período. Un total de 62.423 fueron positivas para los virus influenza, de las cuales 42.013 (67,3%) se tipificaron como influenza A y 20.410 (32,7%) como influenza B. De los virus influenza A, a los cuales se les identificó el subtipo, 7.348 (74,5%) fueron influenza A(H1N1)pdm09 y 2.516 (25,5%) fueron influenza A(H3N2). De los virus B caracterizados, 18 (1,1%) pertenecían al linaje B-Yamagata y 1.574 (98,9%) al linaje B-Victoria.

**Percentage of respiratory specimens that tested positive for influenza
By influenza transmission zone**

Map generated on 12 March 2020



The boundaries and names shown and the designations used on this map do not imply the expression of any opinion whatsoever on the part of the World Health Organization concerning the legal status of any country, territory, city or area or of its authorities, or concerning the delimitation of its frontiers or boundaries. Dotted and dashed lines on maps represent approximate border lines for which there may not yet be full agreement.

Data source: Global Influenza Surveillance and Response System (GISRS), FluNet (www.who.int/flu-net)
 Copyright WHO 2020. All rights reserved.



This report summarizes¹ the epidemiological and virologic features of the laboratory-confirmed human cases of infection with influenza viruses of animal origin from 21 January 2020 to 28 February 2020².

- **New infections¹:** Since the previous update on 20 January 2020, two new human infections with avian influenza A(H9N2) viruses and one new human infection with an influenza A(H1N1) variant virus were reported.
- **Risk assessment:** The overall public health risk from currently known influenza viruses at the human-animal interface has not changed, and the likelihood of sustained human-to-human transmission of these viruses remains low. Further human infections with viruses of animal origin are expected at the human-animal interface wherever these viruses continue to circulate in animals.
- **Risk management:** Selection of new candidate vaccine viruses (CVVs) for zoonotic influenza viruses for pandemic preparedness purposes was done during a recent WHO consultation².
- **IHR compliance:** All human infections caused by a new influenza subtype are required to be reported under the International Health Regulations (IHR, 2005).³ This includes any influenza A virus that has demonstrated the capacity to infect a human and its haemagglutinin gene (or protein) is not a mutated form of those, i.e. A(H1) or A(H3), circulating widely in the human population. Information from these notifications is critical to inform risk assessments for influenza at the human-animal interface.

Este reporte resume³ las características epidemiológicas y virológicas de los casos confirmados en laboratorio de infección por virus influenza de origen animal del 21 de enero al 28 de febrero de 2020⁴.

- **Nuevas infecciones:** desde la actualización anterior del 20 de enero de 2020, se notificaron dos nuevas infecciones humanas con virus de influenza aviar A(H9N2) y una nueva infección humana con un virus variante de influenza A(H1N1).
- **Evaluación de riesgo:** en general, el riesgo para la salud pública de los virus de influenza conocidos actualmente en la interfaz humano-animal no ha cambiado, y la probabilidad de transmisión sostenida de humano a humano de estos virus sigue siendo baja. Se esperan más infecciones humanas con virus de origen animal en la interfaz humano-animal dondequiera que estos virus continúen circulando en los animales.
- **Gestión de riesgos:** la selección de los nuevos candidatos a virus vacunales (CVV) para los virus de la influenza zoonótica con fines de preparación pandémica se realizó durante una consulta reciente de la OMS².
- **Cumplimiento del RSI:** Todas las infecciones humanas causadas por un nuevo subtipo de influenza deben informarse según el Reglamento Sanitario Internacional (RSI 2005)³. Esto incluye cualquier virus influenza A que haya demostrado la capacidad de infectar a un ser humano y su gen hemaglutinina (o proteína) no es una forma mutada de ellos, es decir, A(H1) o A(H3), que circula ampliamente en la población humana. La información de estas notificaciones es crítica para informar las evaluaciones de riesgo para la influenza en la interfaz humano-animal.

Avian influenza viruses / Virus influenza aviar

Current Situation

Avian influenza A(H5) viruses / Virus influenza aviar A(H5)

According to reports received by the World Organisation for Animal Health (OIE), various influenza A(H5) subtypes continue to be detected in birds in Africa, Europe and Asia. / Según los informes recibidos por la Organización Mundial de Sanidad Animal (OIE), se siguen detectando varios subtipos de influenza A (H5) en aves de África, Europa y Asia.

¹ For epidemiological and virological features of human infections with animal influenza viruses not reported in this assessment, see the yearly report on human cases of influenza at the human-animal interface published in the Weekly Epidemiological Record. www.who.int/wer/en/

² WHO (2018) Influenza at the human-animal interface Summary and assessment. Available at: http://www.who.int/influenza/human_animal_interface/HAI_Risk_Assessment/en/

³ Para conocer las características epidemiológicas y virológicas de las infecciones humanas con virus de influenza animal no reportadas en esta evaluación, consulte el informe anual sobre casos humanos de influenza en la interfaz humano-animal publicado en el Reporte Epidemiológico Semanal. Disponible en: www.who.int/wer/en/

⁴ OMS (2018) Influenza en la interfaz humano-animal Resumen y evaluación. Disponible en: http://www.who.int/influenza/human_animal_interface/HAI_Risk_Assessment/en/

Avian influenza A(H7N9) viruses / Virus influenza aviar A(H7N9)

There have been no publicly available reports from animal health authorities in China or other countries on influenza A(H7N9) virus detections in animals in recent months.⁴ Overall, the risk assessments have not changed. / No ha habido informes disponibles públicamente de las autoridades de salud animal en China u otros países sobre las detecciones del virus influenza A(H7N9) en animales en los últimos meses.⁴ En general, las evaluaciones de riesgo no han cambiado.

Avian influenza A(H9N2) viruses / Virus influenza aviar A(H9N2)

Since the last update on 20 January 2020, two new laboratory-confirmed human cases of influenza A(H9N2) virus infections were reported. / Desde la última actualización el 20 de enero de 2020, se notificaron dos nuevos casos confirmados por laboratorio de infecciones por el virus influenza A(H9N2) en humanos.

The first human case was reported to WHO from China, Hong Kong SAR on 7 February 2020, in a 7-year-old boy, with an onset of illness on 4 February 2020. The patient was hospitalized on 5 February and was in stable condition at the time of reporting. The virus was subsequently identified as influenza A(H9N2). The patient had visited relatives in Guangdong Province, China. Backyard poultry were kept at the relatives' residence but no direct exposure to live poultry was reported. No further cases among contacts of the case were detected. / El primer caso humano fue reportado a la OMS desde China, Hong Kong SAR el 7 de febrero de 2020, en un niño de 7 años, con inicio de enfermedad el 4 de febrero de 2020. El paciente fue hospitalizado el 5 de febrero y estaba estable al momento del informe. El virus se identificó posteriormente como influenza A(H9N2). El paciente había visitado a familiares en la provincia de Guangdong, China. Las aves de corral se mantuvieron en la residencia de los familiares, pero no se informó de exposición directa a aves de corral vivas. No se detectaron más casos entre los contactos del caso.

The second human case of infection with an influenza A(H9N2) virus was detected in a child in February 2019 in the Ziguinchor region of Senegal. The patient presented to an outpatient clinic for influenza-like illness (ILI), was not hospitalized and recovered. The likely source of exposure to the virus was backyard poultry. / El segundo caso humano de infección con un virus de influenza A(H9N2) se detectó en un niño en febrero de 2019 en la región de Ziguinchor de Senegal. El paciente se presentó a una clínica ambulatoria por una enfermedad tipo influenza (ETI) no fue hospitalizado y se recuperó. La fuente probable de exposición al virus fueron las aves de corral de traspatio.

Avian influenza A(H9N2) viruses are enzootic in poultry in Asia and increasingly reported in poultry in Africa. / Los virus de la influenza aviar A(H9N2) son enzoóticos en aves de corral en Asia y se informan cada vez más en aves de corral en África.

Swine Influenza Viruses

Current situation:

Influenza A(H1N1)v virus / Virus influenza A(H1N1)v

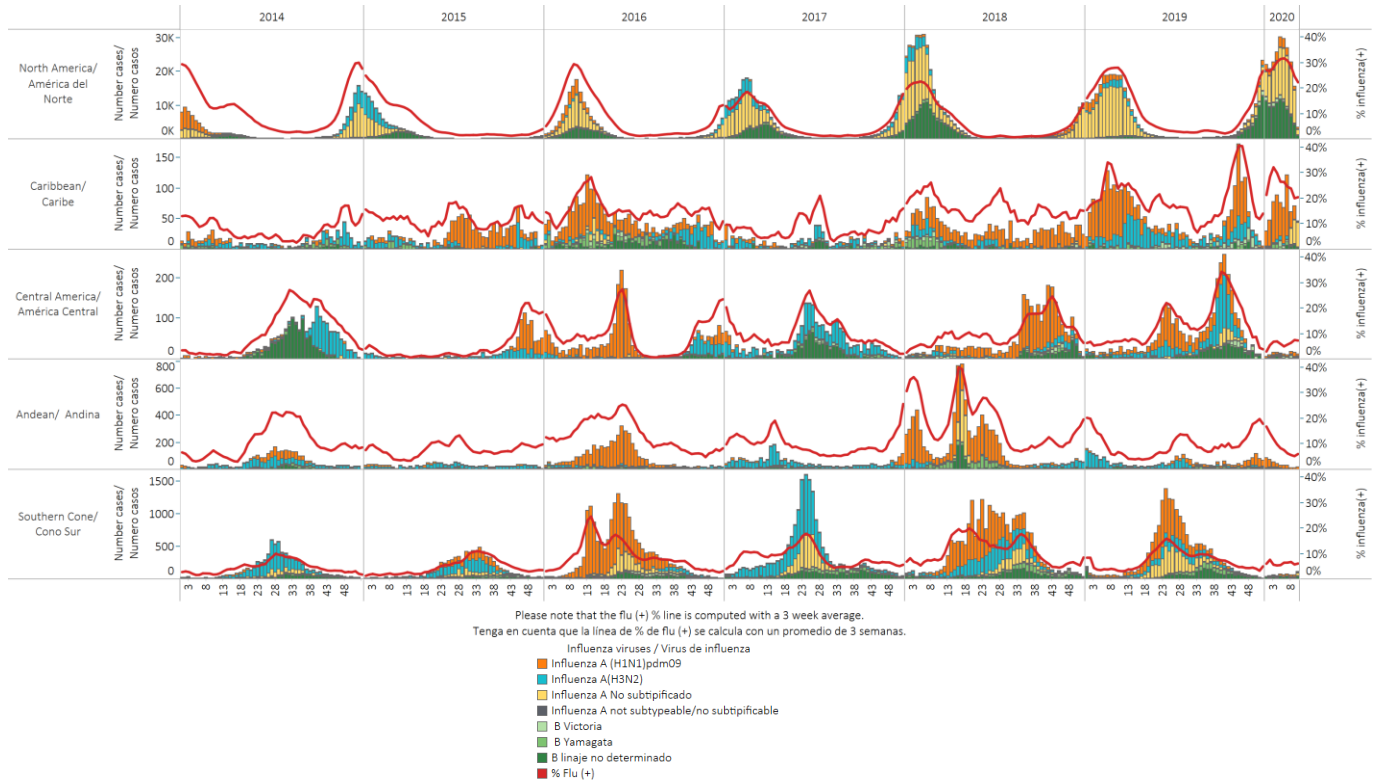
One new laboratory-confirmed human case of influenza A(H1N1)v virus infection was detected in China. A 38-year-old man from Hebei had illness onset on 14 November 2019. The case was detected through routine ILI surveillance. The patient had mild illness and has recovered. Information on the contacts of the case and likely source of exposure was not available. / Se detectó un nuevo caso humano confirmado por laboratorio de infección por el virus influenza A(H1N1)v en China. Un hombre de 38 años de Hebei tuvo el inicio de la enfermedad el 14 de noviembre de 2019. El caso se detectó a través de la vigilancia rutinaria de ETI. El paciente tuvo una enfermedad leve y se recuperó. La información sobre los contactos del caso y la posible fuente de exposición no estaba disponible.

For more information on A(H5), A(H7N9), A(H9N2) and A(H1)v viruses, please see the February 2020 report: [Antigenic and genetic characteristics of zoonotic influenza viruses and candidate vaccine viruses developed for potential use in human vaccines.](#)

Para obtener más información sobre los virus A(H5), A(H7N9), A(H9N2) y A(H1)v, consulte el informe de febrero de 2020: [Características antigénicas y genéticas de los virus de la influenza zoonótica y los virus vacunales candidatos desarrollados para su posible uso en vacunas humanas.](#)

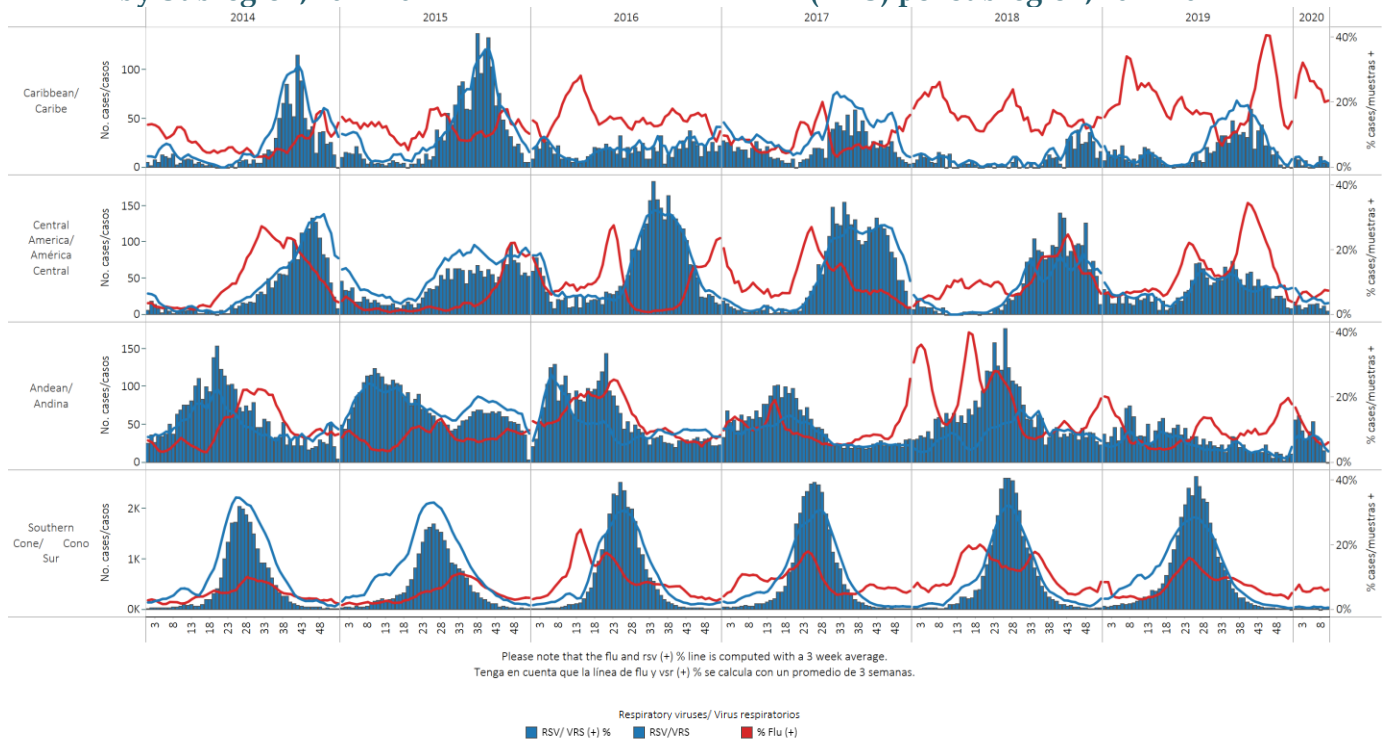
Influenza circulation by subregion, 2014-20

Circulación de virus influenza por subregión, 2014-20



Respiratory syncytial virus (RSV) circulation by Subregión, 2014-20

Circulación de virus respiratorio sincitial (VRS) por subregión, 2014-20



*To view more lab data, view [here](#). / Para ver más datos de laboratorio, vea [aquí](#).

Weekly and cumulative numbers of influenza and other respiratory viruses, by country and EW, 2020⁵

Números semanales y acumulados de influenza y otros virus respiratorios, por país y SE, 2020⁶

Report Summaries –
Resumen del Reporte

		EW 10, 2020 / SE 10, 2020																				
		N samples/ muestras	A(H3N2)	A(H1N1)pdm.	Flu A Non-Subtyped	Flu A Non-subtypable	B Victoria	B Victoria Δ162/163	B Yamagata	B lineage no determinado	Influenza (+) %	Adenovirus	Parainfluenza	VSR	% RSV/VSR (+)	Bocavirus	Coronavirus	Metapneumo.	Rinovirus *	% All Positive Samples (+)		
North America/ América del Norte	Canada	17,147	73	360	1,733					1,112	19.1%										19.1%	
	Mexico	580	12	44	0	2	65	0	3	31	27.1%	0	0	2	0%	0	0	0	0	1	45.7%	
Caribbean/ Caribe	Belize	37		1	2					3	16.2%	1	1								4	32.4%
	Cuba	123	0	0	24	0	0	0	0	1	20.3%	0	4	1	1%	0	11	0	0	0	33.3%	
	Dominican Re..	2									0.0%										100.0%	
	Haiti	0	0	0	0	0	0	0	0	0	0.0%	0	0	0	0		0	0	0	0	0	0.0%
	Jamaica	6	0	0	0	0	0	0	0	0	0.0%	0	0	0	0	0%	0	0	0	0	0	0.0%
Central America/ América Central	Suriname	1	0	0	0	0	0	0	0	0	0.0%	0	0	0	0%	0	0	0	0	0	0.0%	
	El Salvador	22	0	0	0	0	0	0	0	0	0.0%	2	0	0	0%	0	0	0	0	0	9.1%	
	Guatemala	30									0.0%			2	7%						6.7%	
	Honduras	14		3	0						35.7%	0	0	0	0%						35.7%	
	Nicaragua	86			1						4.7%		2	2	2%						9.3%	
Andean/ Andina	Panama	10	0	2	0	0	2	0	0	0	40.0%	0	0	0	0%	0	1	0	0	1	60.0%	
	Colombia	229	1	15						1	7.4%	0	0	0	0%	0	0	0	0	0	10.0%	
	Brazil	113		4	45						8.2%			1	1%		3	1	3		22.0%	
	Chile	542		6	11						3.7%	11	13	3	1%				1		8.9%	
	Chile_IRAG	22	0	0	0	0	0	0	0	0	0.0%	0	1	0	0%	0	0	0	0	1	9.1%	
Brazil & Southern Cone/ Brasil y Cono Sur	Paraguay	76								4	5.3%										5.3%	
	Grand Total	19,040	86	435	1,733	2	67	0	3	1,201	18.5%	14	21	11	0%	0	15	2	10		19.6%	

These are the raw numbers provided in the country's FluNet update (Not the smoothed averages)
Estos son los números crudos proporcionados en la actualización FluNet del país (no los promedios suavizados)

*Please note blank cells indicate N/A.
*Por favor notar que las celdas en blanco indican N/A.

		EW 7, 2020 - EW 10, 2020 / SE 7, 2020 - SE 10, 2020																			
		N samples/ muestras	Influenza (H3N2)*	Influenza A (H1N1) pmd09*	Influenza A non-subtyped*	Influenza B Victoria*	Victoria Δ162/163	Influenza B Yamagata*	Influenza B lineage undetermined	Influenza (+) %	Adenovirus*	Parainfluenza..	RSV/VSR*	% RSV/VSR (+)	Bocavirus*	Coronavirus..	Metapneumo..	Rinovirus*	% All Positive Samples (+)		
North America/ América del Norte	Canada	59,570	280	1,239	7,170	0			5,810	24.3%	0	0	0		0	0	0	0	0	24.3%	
	Mexico	3,711	115	615	0	520	0	15	107	37.5%	4	0	11	0.3%	0	2	4	18		46.0%	
	USA	180,159	141	3,999	32,676	1,183			16	15,521	29.5%	0	0	0		0	0	0	0	0	29.5%
Caribbean/ Caribe	Aruba	28	0	22	0	0		1	2	89.3%	0	0	3	10.7%	0	0	0	0	0	100.0%	
	Bahamas	1	0	0	0	0		0	0	0.0%	0	0	0		0	0	0	0	1	100.0%	
	Barbados	8	0	0	0	0	1	0	0	12.5%	0	0	5	62.5%	0	0	0	0	0	75.0%	
	Belize	150	0	5	4	0			11	13.3%	2	6	1	0.7%	0	4	1	17		34.0%	
	Bermuda	2	0	0	0	0	2	0	0	100.0%	0	0	0		0	0	0	0	0	100.0%	
	CARPHA	71	1	26	0	0	7	1	2	52.1%	1	0	8	11.3%	0	0	2	1		69.0%	
	Cayman Islands	8	1	7	0	0	0	0	0	100.0%	0	0	0		0	0	0	0	0	100.0%	
	Cuba	465	2	22	71	0	0	0	4	21.3%	0	31	2	0.4%	0	47	1	0	0	38.9%	
	Cuba IRAG	279	0	9	32	0	0	0	1	15.1%	0	19	1	0.4%	0	33	1	0	0	34.8%	
	Dominica	1	0	0	0	0	0	0	0	0.0%	0	0	0		0	0	0	0	0	0.0%	
	Dominican Republic	96	0	28	0	1		5	0	35.4%	0	0	0		0	0	0	0	0	40.6%	
	French Guiana	5	0	4	0	1		0	0	100.0%	0	0	0		0	0	0	0	0	100.0%	
	Haiti	37	0	4	0	0	0	0	0	10.8%	0	0	0	0.0%	0	0	0	0	0	10.8%	
	Jamaica	110	0	12	1	3			0	3	17.3%	0	0	0	0.0%	0	0	0	0	0	17.3%
	Saint Kitts	2	0	2	0	0	0	0	0	100.0%	0	0	0		0	0	0	0	0	100.0%	
	Saint Lucia	4	0	1	0	0	0	0	0	25.0%	0	0	0		0	0	0	0	0	25.0%	
	Saint Vincent and t..	4	0	0	0	0	3	0	0	75.0%	0	0	0		0	0	0	0	0	75.0%	
Suriname	43	2	3	0	1	0	0	1	16.3%	0	0	0	0.0%	0	0	0	0	0	16.3%		
Trinidad and Tobago	21	0	3	0	0	1	1	0	23.8%	1	0	0		0	0	2	0	0	38.1%		
Central America/ América Central	Costa Rica	33	0	8	0	2	0	0	0	30.3%	1	0	0	0.0%	0	0	0	0	0	33.3%	
	El Salvador	127	0	1	0	0	0	0	1	1.6%	15	0	1	0.8%	0	0	0	0	0	14.2%	
	Guatemala	103	1	0	0	1		0	0	1.9%	1	2	23	22.3%	0	0	0	0	0	27.2%	
	Honduras	105	2	8	1	0	0	4	14.3%	0	1	3	2.9%	0	0	0	0	0	0	18.1%	
	Nicaragua	384	0	1	1	0	0	0	9	2.9%	1	2	7	1.8%	0	0	0	0	0	5.5%	
Andean/ Andina	Panama	120	0	8	0	11	0	0	0	15.8%	6	2	2	1.7%	0	3	1	21		45.0%	
	Bolivia	383	0	17	0	0	0	0	0	7.8%	0	0	0	0.0%	0	0	0	0	0	22.7%	
	Colombia	322	2	32	0	0	0	0	3	11.5%	2	1	21	6.5%	0	0	1	6		23.0%	
	Ecuador	180	1	0	0	0	0	0	2	1.7%	0	2	17	9.4%	0	0	0	0	0	12.2%	
Brazil & Southern Cone/ Brasil y Cono Sur	Peru	243	0	8	0	1	0	0	0	3.7%	0	7	17	7.0%	0	0	0	8	8	20.2%	
	Argentina	178	0	1	3	0	0	0	11	8.4%	15	1	3	1.7%	0	0	0	0	0	19.1%	
	Brazil	602	5	48	45	0	0	0	118	11.5%	8	4	7	1.2%	0	7	6	22		21.9%	
	Chile	1,631	2	34	19	0	0	0	13	4.4%	58	40	10	0.6%	0	0	5	0	0	11.3%	
	Chile_IRAG	102	0	2	0	0	0	0	2	3.9%	3	4	1	1.0%	0	0	0	0	3	14.7%	
	Paraguay	262	0	0	0	0	0	0	10	3.8%	0	0	0		0	0	0	0	0	3.8%	
	Paraguay IRAG	52	0	0	0	0	0	0	2	3.8%	0	0	0	0.0%	0	0	0	0	0	3.8%	
Uruguay	10	1	2	0	0	0	0	0	30.0%	0	0	0	0.0%	0	0	0	0	0	30.0%		
Grand Total		249,612	556	5,771	40,023	1,724	14	39	21,637	27.9%	118	122	143	0.1%	0	96	32	97		28.3%	

		Total Influenza B, EW 7, 2020 - 10, 2020								
		Total Influenza B	B Victoria	Victoria Δ162/163	B Yamagata	B lineage no determinado	% B Victoria	% B Vic Δ162/163	% B Yamagata	
North America/ América del Norte		23,172	1,703	0	31	21,438	98%	0%	2%	
Caribbean/ Caribe		37	6	14	8	24	43%	100%	57%	
Central America/ América Central		27	14	0	0	14	100%	0%	0%	
Andean/ Andina		8	1	0	0	7	100%	0%	0%	
Brazil & Southern Cone/ Brasil y Cono Sur		63	0	0	0	156				
Grand Total		23,307	1,724	14	39	21,639	98%	1%	2%	

⁵The detection of respiratory viruses other than influenza depends on the diagnostic capacity of each country and monitoring system. The absence of report of other respiratory viruses does not indicate the absence of their circulation.

⁶La detección de otros virus respiratorios diferentes a influenza depende de la capacidad diagnóstica de cada país y del sistema de vigilancia establecido. El que no se reporten otros virus respiratorios, no significa, ni indica la ausencia de circulación viral.

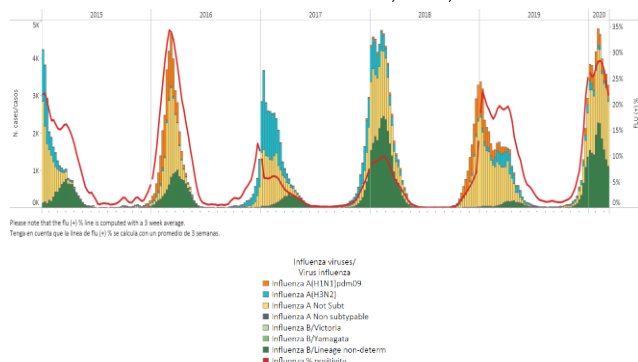
North America / América del Norte

Canada / Canadá

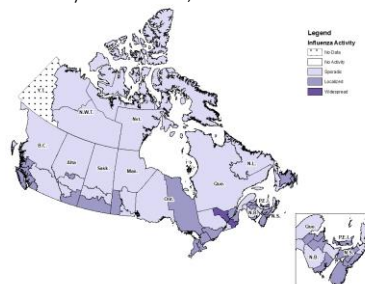
North America-
América del Norte

- During EW 10, 2020, at the national level, influenza activity continues high. Influenza detections decreased in comparison to the previous week with co-circulation of influenza A and B viruses, with influenza A(H1N1)pdm09 the dominant subtype (Graph 1). All regions reported influenza activity this week; 2% of the regions reported widespread activity, 46% reported a localized level of activity, and 52% reported sporadic activity (Graph 2). The percentage of visits to healthcare professionals due to ILI (1.5%) was the same as the previous week and was below the average for this time of year (2.3%) (Graph 3). In EW 10, 52 pediatric laboratory-confirmed influenza-associated hospitalizations were reported by the Immunization Monitoring Program Active (IMPACT) network and was approximately equal to the average for this period over the previous five seasons. To date this season, 52% (591) pediatric hospitalizations were associated with influenza A and 48% (553) with influenza B (Graph 4). During EWs 35, 2019 – 10, 2020, 738 hospitalizations, 74 intensive care unit admissions, and 35 deaths were reported among adults (≥ 16 years) with laboratory-confirmed influenza. Most hospitalizations have been due to influenza A (80%), and among those subtyped (166) 92% were influenza A(H1N1)pdm09. / Durante la SE 10 de 2020, a nivel nacional, la actividad de la influenza continúa alta. Las detecciones de influenza disminuyeron en comparación con la semana anterior con la circulación concurrente de los virus de influenza A y B, con influenza A(H1N1)pdm09 el subtipo dominante (Gráfico 1). Todas las regiones informaron actividad de influenza esta semana; el 2% de las regiones informaron actividad generalizada, el 46% informó un nivel de actividad localizado y el 52% informó actividad esporádica (Gráfico 2). El porcentaje de visitas a profesionales de la salud debido a una ETI (1,5%) fue el mismo que la semana anterior y estuvo por debajo del promedio para esta época del año (2,3%) (Gráfico 3). En la SE 10, la red activa del Programa de Monitoreo de Inmunizaciones (IMPACT) informó 52 hospitalizaciones pediátricas asociadas a la influenza confirmadas por laboratorio y fue aproximadamente igual al promedio de este período durante las cinco temporadas anteriores. Hasta la fecha, esta temporada, el 52% (591) hospitalizaciones pediátricas se asociaron con influenza A y el 48% (553) con influenza B (Gráfico 4). De la SE 35 de 2019 a la SE 10 de 2020, se informaron 738 hospitalizaciones, 74 ingresos a la unidad de cuidados intensivos y 35 muertes en los adultos (≥ 16 años) con influenza confirmada por laboratorio. La mayoría de las hospitalizaciones se debieron a la influenza A (80%), y entre los subtipos (166) el 92% fueron influenza A(H1N1)pdm09.

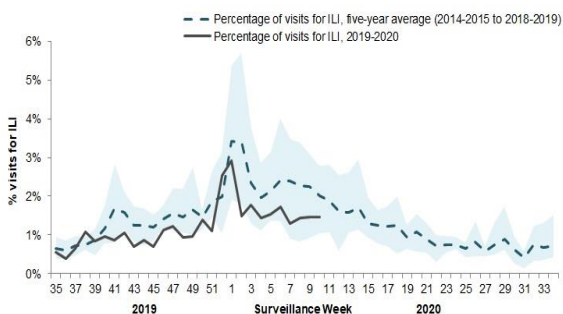
Graph 1. Canada: Influenza virus distribution, EW 10, 2015 –20
Distribución de virus de influenza, SE 10, 2015 –20



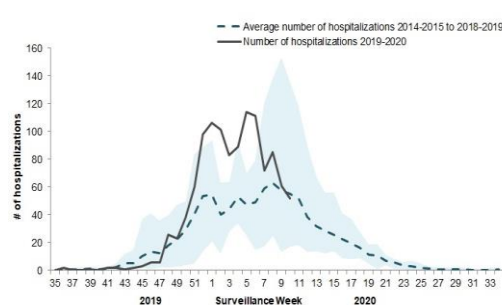
Graph 2. Canada: Influenza activity by provincial and territorial influenza surveillance regions, EW 10, 2020
Actividad de influenza por regiones de vigilancia de influenza provinciales y territoriales, SE 10 de 2020



Graph 3. Canada: Percentage of ILI visits by sentinel sites, EW 35, 2019 to EW 10, 2020
Porcentaje de casos de ETI por sitio centinela, SE 35 de 2019 a SE 10 de 2020



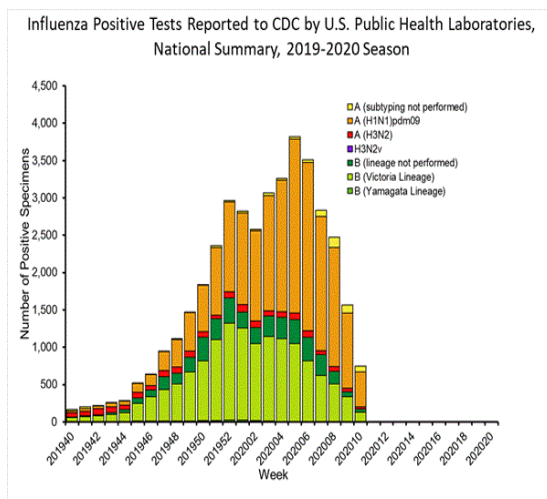
Graph 4. Canada: Number of pediatric hospitalizations (≤ 16 years old), EW 35, 2019 to EW 10, 2020
Número de hospitalizaciones pediátricas (≤ 16 años), SE 35 de 2019 a SE 10 de 2020



- In EW 10, 2020, influenza detections continue to decrease with influenza A(H1N1)pdm09 viruses more frequently reported than influenza B/Victoria nationally, and co-circulation of influenza A(H3N2) and influenza B/Yamagata viruses (Graph 1). Influenza activity continues decreasing in EW 10 (Graph 2). Forty-three jurisdictions reported high ILL activity: New York City, Puerto Rico, and 41 states (Alabama, Arkansas, California, Colorado, Connecticut, Georgia, Hawaii, Illinois, Indiana, Iowa, Kansas, Kentucky, Louisiana, Maine, Maryland, Massachusetts, Michigan, Minnesota, Mississippi, Missouri, Montana, Nebraska, New Jersey, New Mexico, New York, North Carolina, North Dakota, Oklahoma, Oregon, Pennsylvania, Rhode Island, South Carolina, South Dakota, Tennessee, Texas, Utah, Vermont, Virginia, Washington, West Virginia, and Wisconsin); the remaining jurisdictions experienced moderate to minimal activity (Graph 3). Influenza-like illness slightly increased as compared to the previous week and was above the national baseline (2.4%) at a level of 5.2% of patients visits (Graph 4). The highest rate of laboratory-confirmed influenza hospitalizations was among adults aged ≥65 years (159.4 per 100,000 pop) followed by children aged 0-4 years (88.9 per 100,000 pop) (Graph 5). The overall cumulative hospitalization rate was 61.6 per 100,000 population, which is higher for the same time period than in previous seasons except for the 2017-18 season. In EW 10, 7.1% of reported deaths were due to pneumonia and influenza; this is below the epidemic threshold of 7.3% for EW 9 (Graph 6). CDC estimates that so far this season there have been at least 36 million flu illnesses, 370,000 hospitalizations and 22,000 deaths from flu. / En la SE 10 de 2020, a nivel nacional, las detecciones de influenza continúan disminuyendo con los virus influenza A(H1N1)pdm09 reportados con mayor frecuencia que los virus influenza B/Victoria y la circulación concurrente de los virus influenza A(H3N2) e influenza B/Yamagata (Gráfico 1). La actividad de la influenza continúa disminuyendo en la SE 10 (Gráfico 2). Cuarenta y tres jurisdicciones informaron una alta actividad de ETI: Ciudad de Nueva York, Puerto Rico y 41 estados: (Alabama, Arkansas, California, Colorado, Connecticut, Georgia, Hawái, Illinois, Indiana, Iowa, Kansas, Kentucky, Luisiana, Maine, Maryland, Massachusetts, Michigan, Minnesota, Mississippi, Missouri, Montana, Nebraska, Nueva Jersey, Nuevo México, Nueva York, Carolina del Norte, Dakota del Norte, Oklahoma, Oregón, Pensilvania, Rhode Island, Carolina del Sur, Dakota del Sur, Tennessee, Texas, Utah, Vermont, Virginia, Washington, Virginia Occidental y Wisconsin); las jurisdicciones restantes experimentaron actividad moderada a mínima (Gráfico 3). La enfermedad similar a la influenza aumentó ligeramente en comparación con la semana anterior y estuvo por encima de la línea de base nacional (2,4%) a un nivel del 5,2% de las visitas de los pacientes (Gráfico 4). La tasa más alta de hospitalizaciones por influenza confirmadas por laboratorio fue en los adultos de ≥65 años (159,4 por 100.000 habitantes) seguidos de niños de 0 a 4 años (88,9 por 100.000 habitantes) (Gráfico 5). La tasa global de hospitalización acumulada fue de 61,6 por 100.000 habitantes, que es más alta para el mismo período de tiempo que en temporadas anteriores, excepto en la temporada 2017-18. En la SE 10, el 7,1% de las muertes reportadas se debieron a neumonía e influenza; esto está por debajo del umbral epidémico del 7,3% para la SE 9 (Gráfico 6). Los CDC estiman que hasta ahora esta temporada ha habido al menos 36 millones de enfermos por influenza, 370.000 hospitalizaciones y 22.000 muertes por influenza.

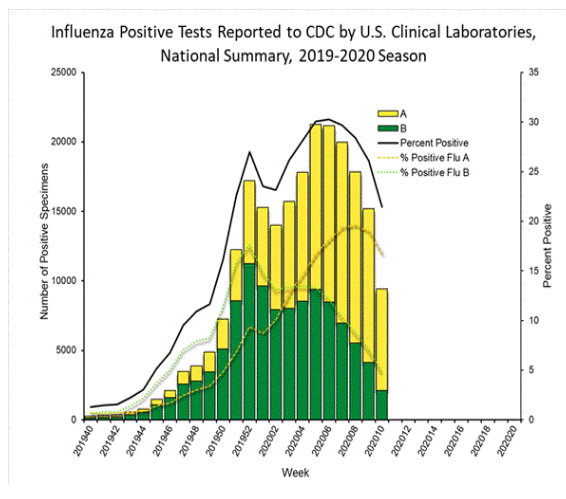
Graph 1. USA: Influenza virus distribution, EW 10, 2020
2019-2020 season

Distribución de virus de influenza, SE 10 de 2020
Temporada 2019-2020

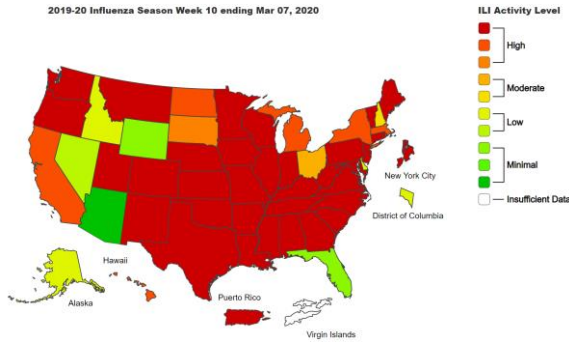


Graph 2. USA: Percent positivity for influenza, EW 10, 2020
2019-2020 season

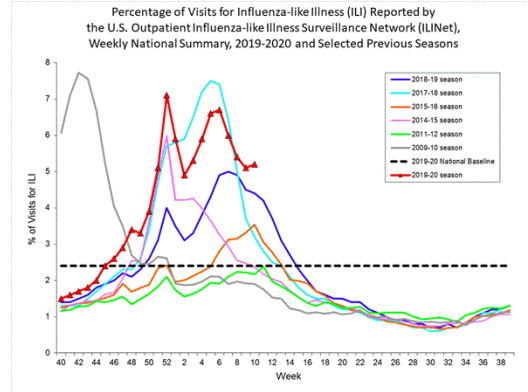
Porcentaje de positividad de influenza, SE 10 de 2020
Temporada 2019-2020



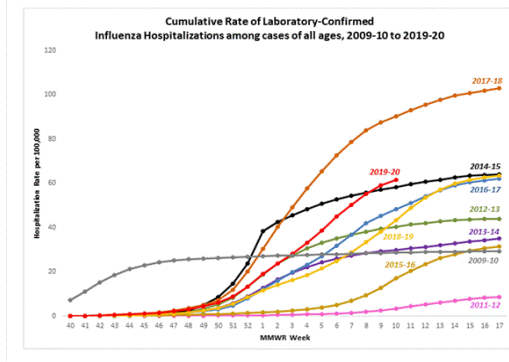
Graph 3. USA: ILI activity level indicator determined by state, EW 10, 2020
Indicador de nivel de actividad de ETI por estado, SE 10 de 2020



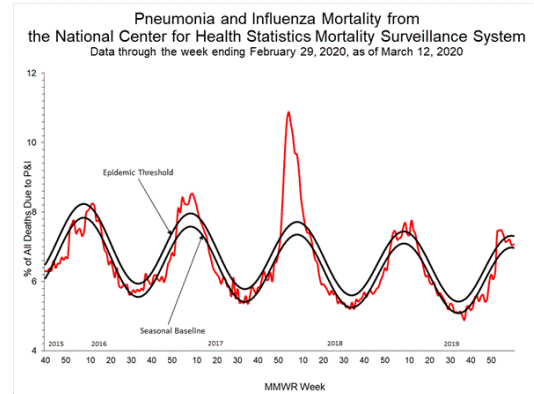
Graph 4. USA: Percentage of visits for ILI, EW 10, 2009-20
Porcentaje de visitas por ETI, SE 10, 2009-20



Graph 5. USA: Laboratory-confirmed influenza hospitalizations rates (per 100,000 population) by age group, EW 10, 2020
Tasas de hospitalizaciones (por 100.000 habitantes) por influenza confirmada por el laboratorio, por grupo de edad, SE 10 de 2020



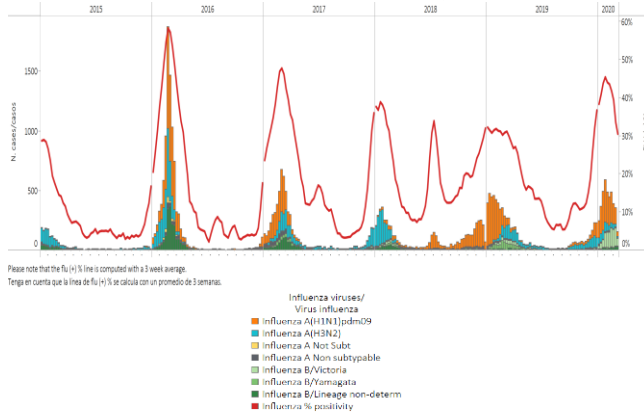
Graph 6. USA: Pneumonia and influenza mortality, EW 10, 2015-20
Mortalidad por neumonía e influenza, SE 10, 2015-20



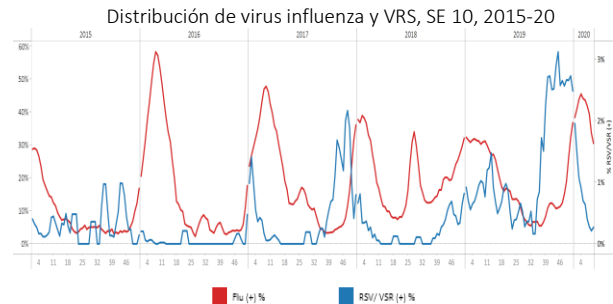
*To view more epi data, view [here](#). / Para ver más datos epi, vea [aquí](#).

- During EW 10, 2020, influenza detections decreased in comparison to previous weeks with influenza A(H1N1)pdm09 predominance and influenza B/Victoria, B/Yamagata, and A(H3N2) viruses co-circulating (Graph 1). Influenza percent positivity continues to decrease, at a low level of activity (Graph 2). Few RSV detections were reported (Graph 2); with rhinovirus co-circulating. As of EW 10, 5,124 influenza-associated SARI/ILI cumulative cases were reported with 269 SARI/ILI influenza-related cumulative deaths. The jurisdictions with the highest number of influenza-confirmed cases during the 2019-20 season were: Mexico City, San Luis Potosi, Coahuila, Mexico State, and Jalisco while the jurisdictions with the highest SARI/ILI influenza-related cumulative deaths were Jalisco, Mexico City, Hidalgo, Veracruz and Sonora (Graphs 4 and 5). / En la SE 10 de 2020, las detecciones de influenza disminuyeron en comparación con las semanas anteriores con el predominio de influenza A(H1N1)pdm09 y la circulación concurrente de los virus influenza B/Victoria, B/Yamagata y A(H3N2) (Gráfico 1). El porcentaje de positividad de la influenza continúa disminuyendo, a un bajo nivel de actividad (Gráfico 2). Se informaron pocas detecciones de VRS (Gráfico 2); con la circulación concurrente de rinovirus. A partir de la SE 10, se reportaron 5.124 casos acumulados de IRAG / ETI asociados con influenza con 269 muertes acumuladas de IRAG / ETI relacionadas con la influenza. Las jurisdicciones con el mayor número de casos confirmados de influenza durante la temporada 2019-20 fueron: Ciudad de México, San Luis Potosí, Coahuila, Estado de México y Jalisco, mientras que las jurisdicciones con el mayor número de muertes por IRAG ¿ ETI acumuladas relacionadas con la influenza fueron Jalisco, Ciudad de México, Hidalgo, Veracruz y Sonora (Gráficos 4 y 5).

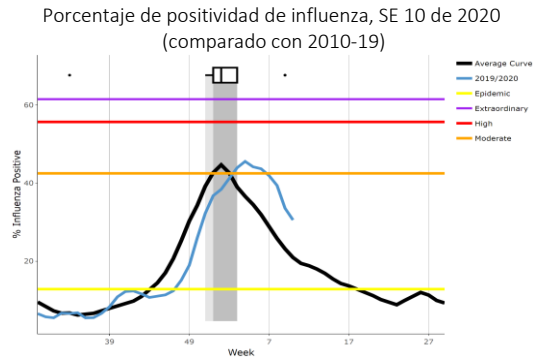
Graph 1. Mexico: Influenza virus distribution, EW 10, 2015-20
Distribución de virus influenza, SE 10, 2015-20



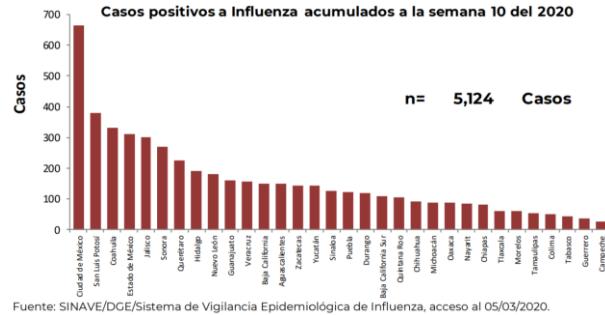
Graph 2. Mexico: Influenza and RSV distribution
EW 10, 2015-20



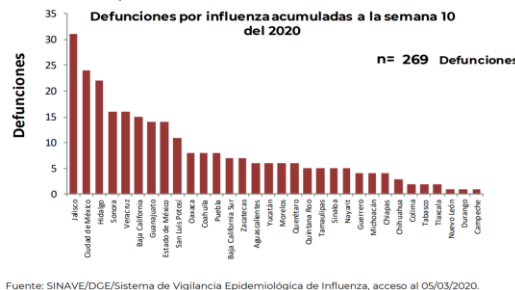
Graph 3. Mexico: Percent positivity for influenza, EW 10, 2020
(compared to 2010-19)



Graph 4. Mexico: SARI/ILI-influenza positive, EW 10, 2020
Casos de IRAG/ETI positivos a influenza, SE 10 de 2020



Graph 5. Mexico: SARI/ILI-influenza deaths, EW 10, 2020
Casos fallecidos por IRAG/ETI asociados a Influenza, SE 10 de 2020

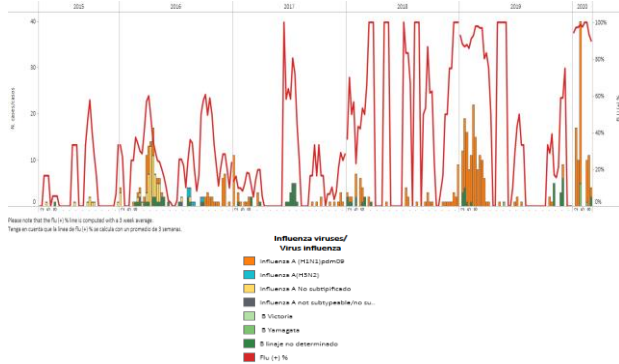


Caribbean / Caribe

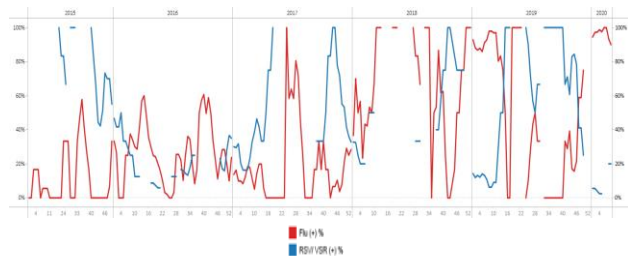
Aruba

- During EW 9, influenza detections continued to decrease in comparison to the previous week, with co-circulation of influenza A(H1N1)pdm09 and influenza B (Graph 1). Influenza percent positivity decreased this week, minimal RSV activity was reported (Graph 2). The number of SARI cases was below levels observed in previous seasons (Graph 3). / Durante la SE 9, las detecciones de influenza continuaron disminuyendo en comparación con la semana anterior, con la cocirculación de influenza A (H1N1) pdm09 e influenza B (Gráfico 1). El porcentaje de positividad de la influenza disminuyó esta semana, se informó una actividad mínima del VSR (Gráfico 2). El número de casos de IRAG estuvo por debajo de los niveles observados en temporadas anteriores (Gráfico 3).

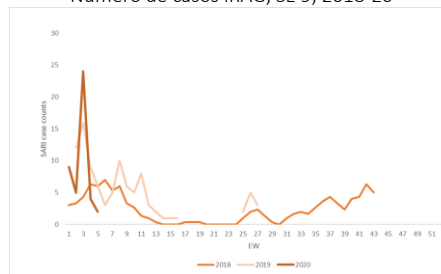
Graph 1. Aruba. Influenza virus distribution EW, EW 9, 2015-20
Distribución de virus influenza por SE, SE 9, 2015-20



Graph 2. Aruba. Influenza and RSV distribution, EW 9, 2015-20
Distribución de virus influenza y VRS, SE 9, 2015-20



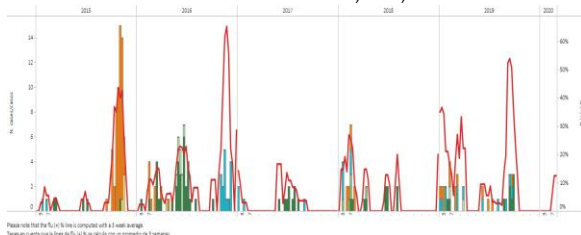
Graph 3. Aruba: Number of SARI cases, EW 9, 2018-20,
Número de casos IRAG, SE 9, 2018-20



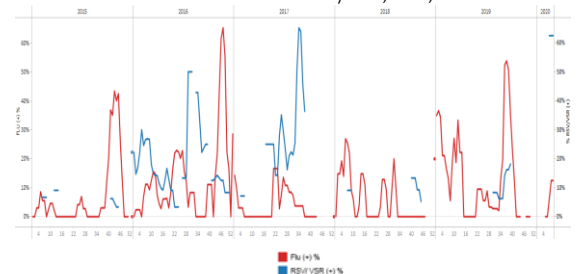
Barbados

- During EW 8, minimal influenza activity was reported with detection of influenza B Victoria (one) and RSV positive samples. In EW 9, no influenza or other respiratory detections were reported (Graphs 1 and 2). During EW 9, SARI activity increased in comparison to the previous week and remains below levels observed in the 2013-2018 seasons for the same period (Graph 3). / Durante la SE 8, se informó una actividad mínima de influenza con la detección de influenza B Victoria (una) y muestras positivas de VSR. En la SE 9, no se reportaron influenza u otras detecciones respiratorias (Gráficos 1 y 2). Durante la SE 9, la actividad de IRAG aumentó en comparación con la semana anterior y permanece por debajo de los niveles observados en las temporadas 2013-2018 para el mismo período (Gráfico 3).

Graph 1. Barbados. Influenza virus distribution, EW 9, 2015-20
Distribución de virus influenza, SE 9, 2015-20

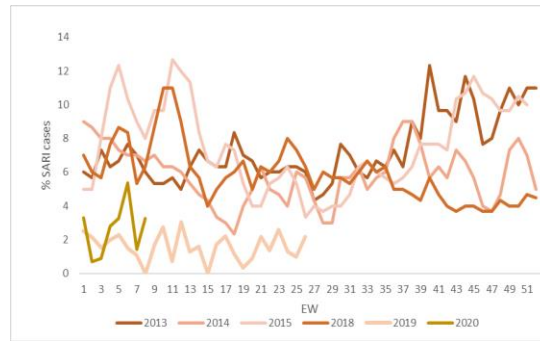


Graph 2. Barbados. Influenza and RSV distribution, EW 9, 2015-20
Distribución de virus influenza y VRS, SE 9, 2015-20





Graph 3. Barbados: Number of SARI cases, EW 9, 2013-15, 2018-20
 Número de casos IRAG, SE 9, 2013-15, 2018-20

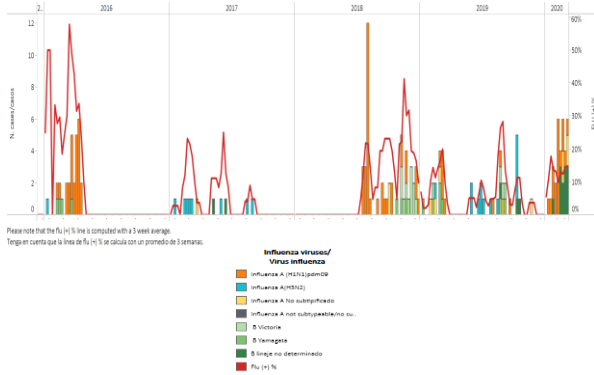


*To view more epi data, view [here](#). / Para ver más datos epi, vea [aquí](#).

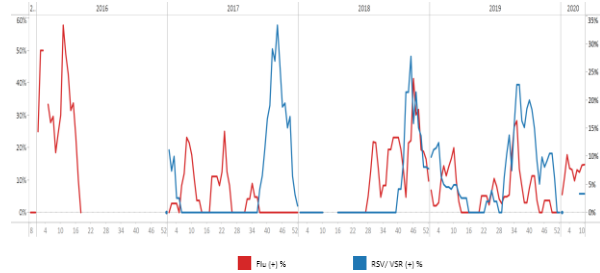
Belize/ Belice

- During EW 10, influenza activity decreased in comparison to the previous week, with predominance of influenza B/undetermined lineage and influenza A(H1N1)pdm09 virus cocirculation (Graph 1). Influenza percent positivity remained low; with detection of low RSV activity. Adenovirus and parainfluenza cocirculated. (Graph 2). / Durante la SE 10, la actividad de la influenza disminuyó en comparación con la semana anterior, con predominio de la influenza B / linaje indeterminado y la cocirculación del virus de la influenza A (H1N1) pdm09 (Gráfico 1). El porcentaje de positividad de la influenza se mantuvo bajo; con detección de baja actividad de RSV (Gráfico 2). Circularon concurrentemente adenovirus y parainfluenza.

Graph 1. Belize. Influenza virus distribution EW 10, 2016-20
 Distribución de virus influenza SE 10, 2016-20



Graph 2. Belize: Influenza and RSV distribution, EW 10, 2016-20
 Distribución de virus influenza y VRS, SE 10, 2016-20

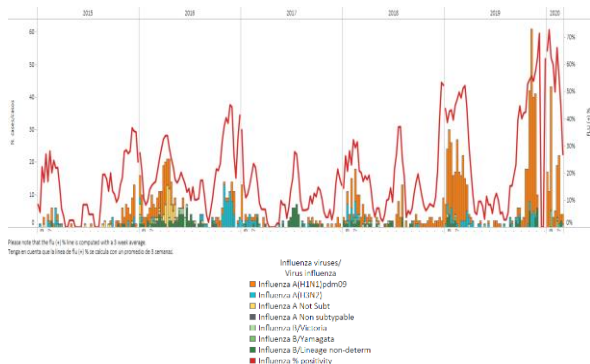


*To view more epi data, view [here](#). / Para ver más datos epi, vea [aquí](#).

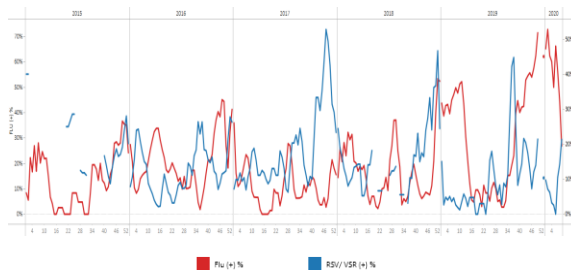
CARPHA

- During EW 9, influenza activity was unchanged in comparison to EW8 and similar to levels observed during previous seasons for the same time period; influenza A(H1N1)pdm09 and B Yamagata viruses were detected (Graph 1). RSV activity increased in comparison to EW (Graph 2). Respiratory samples were received from Aruba and Trinidad & Tobago. / En la SE 8, la actividad de la influenza disminuyó en comparación con las semanas anteriores, con la detección de la influenza A (H1N1) pdm09 (Gráfico 1). La actividad mínima de VSR se informó esta semana (Gráfico 2). Se recibieron muestras respiratorias de Aruba y Barbados.

Graph 1. CARPHA: Influenza virus distribution, EW 9, 2015-20
Distribución de virus influenza, SE 9, 2015-20



Graph 2. CARPHA: Influenza and RSV distribution, EW 9, 2015-20
Distribución de virus influenza y VRS, SE 9, 2015-20

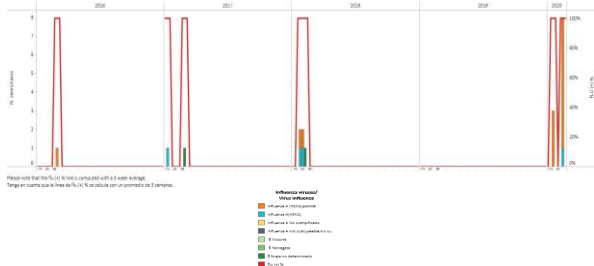


*To view more epi data, view [here](#). / Para ver más datos epi, vea [aquí](#).

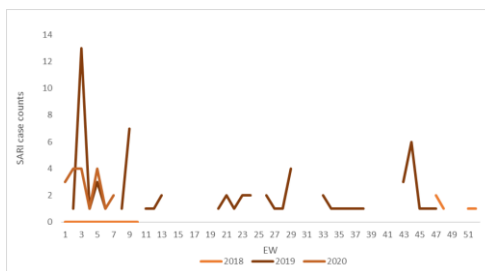
Cayman Islands / Islas Caimán

- During EW 8, no influenza virus activity was reported; in previous weeks influenza A(H1N1)pdm09 and A(H3N2) viruses co-circulated (Graph 1). RSV activity has not been reported this year. During this week, the number of SARI cases observed increased slightly (Graph 2). / Durante la SE 8, no se informó la actividad del virus de la influenza; en semanas anteriores, los virus influenza A(H1N1)pdm09 y A(H3N2) circularon concurrentemente (Gráfico 1); la actividad del VRS no se ha informado este año. El número de casos de IRAG observados aumentó ligeramente (Gráfico 2).

Graph 1. Cayman Islands. Influenza virus distribution EW 8, 2016-20
Distribución de virus influenza SE 8, 2016-20



Graph 2. Cayman Islands: Number of SARI cases, EW 8, 2018-20
Número de casos IRAG, SE 8, 2018-20

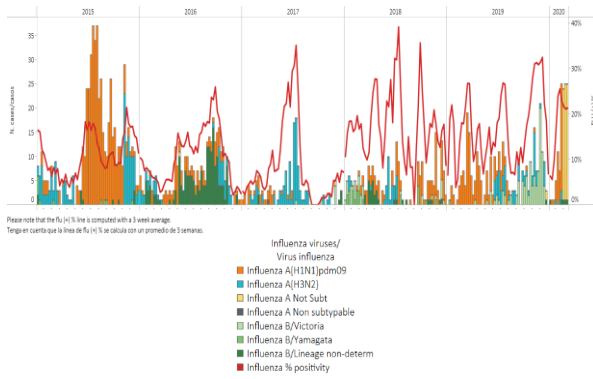


*To view more epi data, view [here](#). / Para ver más datos epi, vea [aquí](#).

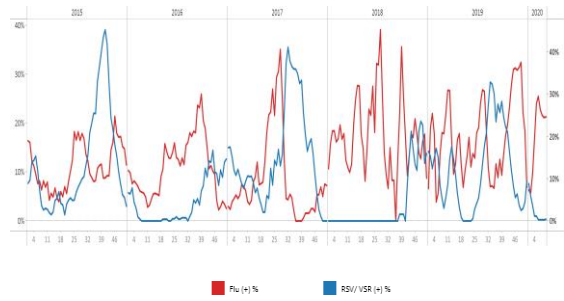
Cuba

- During EW 10, influenza activity remained elevated, with predominance of influenza A viruses and co-circulation of influenza B (Graph 1). Percent influenza positivity decreased to moderate levels of intensity when compared to the average percent positivity observed during 2010-2019 seasons (Graph 3). Few respiratory syncytial viruses have been detected since EW4; during EW 10, parainfluenza, metapneumovirus, and other respiratory viruses were identified (Graph 2). / Durante la SE 10, la actividad de la influenza se mantuvo elevada, con predominio de los virus de la influenza A y cocirculación de la influenza B (Gráfico 1). El porcentaje de positividad de la influenza disminuyó a niveles moderados de intensidad en comparación con el porcentaje promedio de positividad observado durante las temporadas 2010-2019 (Gráfico 3). Se han detectado contados virus sincitiales respiratorios desde EW4; durante la SE 10, se identificaron parainfluenza, metapneumovirus y otros virus respiratorios (Gráfico 2).

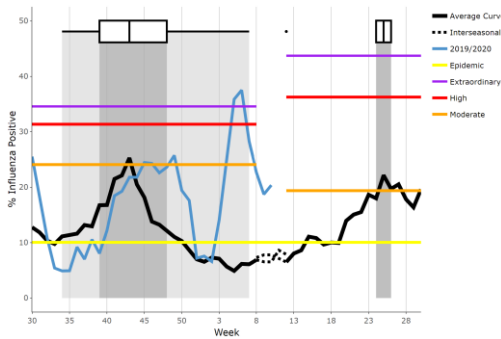
Graph 1. Cuba: Influenza virus distribution, EW 10, 2015-20
Distribución de virus influenza, SE 10, 2015-20



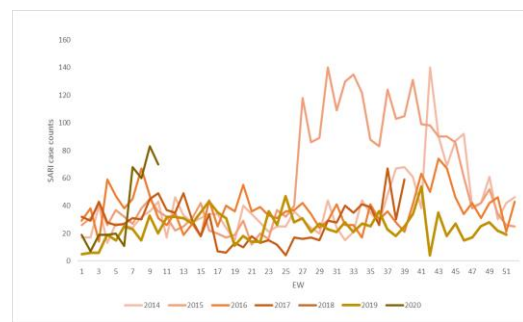
Graph 2. Cuba: Influenza and RSV distribution, EW 10, 2015-20
Distribución de virus influenza y VRS, SE 10, 2015-20



Graph 3. Cuba: Percent positivity for influenza, EW 10, 2020
(compared to 2010-19)
Porcentaje de positividad de influenza, SE 10 de 2020
(comparado con 2010-19)



Graph 4. Cuba: Number of SARI cases with samples, EW 10, 2014-20
Número de casos de IRAG con muestras, SE 10, 2014-20

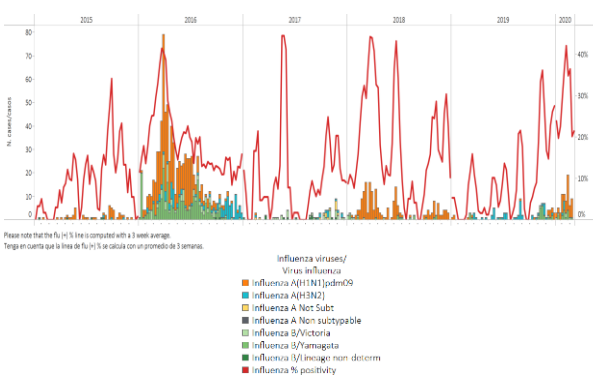


*To view more epi data, view [here.](#) / Para ver más datos epi, vea [aquí.](#)

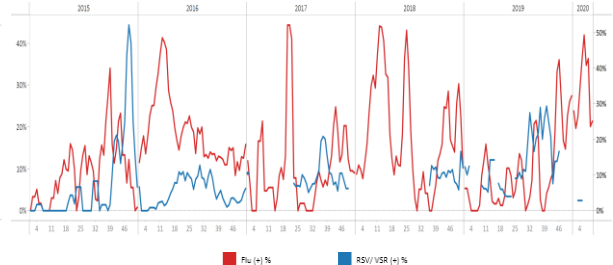
Dominican Republic / República Dominicana

- During EW 10, influenza activity decreased; influenza and other respiratory viruses were not detected in tested samples; influenza A(H1N1)pdm09 virus circulated predominantly with co-circulation of Influenza B/Yamagata in previous weeks (Graph 1). RSV activity remains low, with no detection since EW 46 (Graph 2). The percent positivity for influenza decreased in EW 10, and remains elevated, at a moderate level, in comparison to the average threshold observed during the 2010-19 seasons (Graph 3). / Durante la SE 10, la actividad de influenza disminuyó; la influenza y otros virus respiratorios no se detectaron en muestras analizadas; el virus influenza A(H1N1)pdm09 circuló predominantemente con circulación concurrente de influenza B / Yamagata en semanas anteriores (Gráfico 1). La actividad del VRS sigue siendo baja, sin detección desde la SE 46 (Gráfico 2). El porcentaje de positividad para la influenza disminuyó en la SE 8, y permanece elevado a un nivel moderado en comparación con el umbral promedio observado durante los años 2010-19 (Gráfico 3).

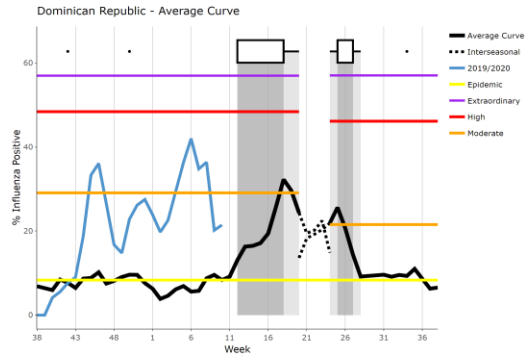
Graph 1. Dominican Republic: Influenza virus distribution, EW 10, 2015-20
Distribución del virus influenza, SE 9, 2015-20



Graph 2. Dominican Republic Influenza and RSV distribution, EW 10, 2015-20
Distribución de los virus influenza y VRS, SE 10, 2015-20



Graph 3. Dominican Republic: Percent positivity for influenza, EW 10, 2020 (compared to 2010-19)
 Porcentaje de positividad de influenza, SE 10 de 2020 (comparado con 2010-19)



*To view more epi data, view [here](#). / Para ver más datos epi, vea [aquí](#).

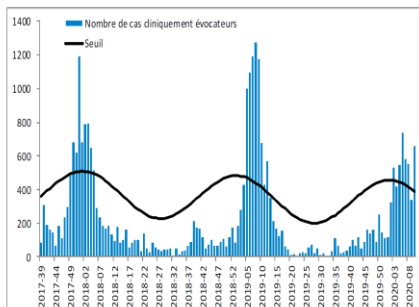
- During EW 8, the French Territories * are in an epidemic phase with a continuous increase in influenza activity in Guadeloupe and Martinique. In San Bartolomeo, influenza activity is stable compared to the previous week, while influenza activity has decreased in San Martín. Influenza cases admitted to the intensive care unit were reported, with 5 cases in Martinique (including 3 deaths), 5 cases in Guadelupe (including 2 deaths) and 1 case in San Martín; Influenza A viruses were identified in all these cases. In EW 10, in Guiana, the influenza epidemic continues with an increase in influenza activity in medical clinics and hospitals. Influenza A (H1N1) pdm09 and B/Victoria viruses have been reported. / Durante la SE 8, los Territorios Franceses* están en una fase epidémica con un aumento continuo en la actividad de la influenza en Guadelupe y Martinica. En San Bartolomeo, la actividad de la influenza es estable en comparación con la semana anterior, mientras que la actividad de la influenza ha disminuido en San Martín. Se informaron casos de influenza ingresados en la unidad de cuidados intensivos, con 5 casos en Martinica (incluidas 3 muertes), 5 casos en Guadelupe (incluidas 2 muertes) y 1 caso en San Martín; Se identificaron virus de influenza A en todos estos casos. En la SE 10, en Guyana, la epidemia de influenza continúa con un aumento en la actividad de la influenza en clínicas médicas y hospitales. Se han identificado los virus influenza A(H1N1)pdm09 y B/Victoria.

Guadeloupe: During EW 7, the number of ILI consultations decreased as compared to the previous week and was below the seasonal levels for the same period (Graph 1), with influenza A viruses circulating. **Martinique:** The number of ILI consultations trended upward among children less than 2 years of age during EW7 and was above the seasonal threshold (Graph 2), with influenza A(H1N1)pdm09 viruses circulating. **Saint-Martin:** In EW7, ILI consultations among children less than 2 years of age decreased in comparison to previous weeks but remained above expected levels (Graph 3), with influenza A viruses circulating. **Saint-Barthélemy:** The number of consultations due to ILI has increased since EW 49 and remained above expected levels as compared to 2018-2019 seasons (Graph 4), influenza A and influenza B/Victoria viruses co-circulated in recent weeks. **French Guiana:** In Guiana, the influenza epidemic season continues in EW 10. Influenza activity is increasing, A(H1N1)pdm09 and B/Victoria viruses have been identified. (Graph 5); influenza percent positivity increased slightly in comparison to the previous week and continues above the average epidemic curve (Graph 6). / **Guadelupe:** durante la SE 7, el número de consultas por ETI disminuyó en comparación con la semana anterior y estuvo por debajo de los niveles estacionales durante el mismo período (Gráfico 1); **Martinica:** El número de consultas por ETI tendió al aumento en los niños menores de 2 años durante la SE7 y estuvo por encima del umbral estacional (Gráfico 2), **San Martin:** en la SE7, las consultas por ETI en los niños menores de 2 años disminuyeron en comparación con las semanas anteriores (Gráfico 3), **San Bartolomeo:** El número de consultas por ETI ha aumentado desde la SE 49 y se mantiene en un nivel moderado en comparación con las temporadas 2018-2019 (Gráfico 4). **Guayana Francesa:** En Guyana, la epidemia estacional de influenza continua en la SE 10. La actividad de influenza se encuentra en aumento, influenza A(H1N1)pdm09 y B/Victoria han sido identificados (Gráfico 5); el porcentaje de positividad aumentó ligeramente en comparación a la semana previa y continúa sobre la curva epidémica promedio (Gráfico 6).

Graph 1. Guadeloupe: Number of ILI consultations , in children less than 2 years, EW 10, 2017-20

Número de consultas por bronquiolitis, en niños menores de 2 años, SE 10, 2017-20

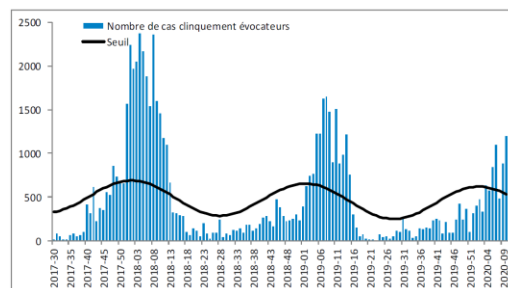
Nombre hebdomadaire de personnes ayant consulté un médecin généraliste de ville pour un syndrome grippal et seuil saisonnier, Guadeloupe, septembre 2017 à mars 2020 - Source : réseau de médecins sentinelles



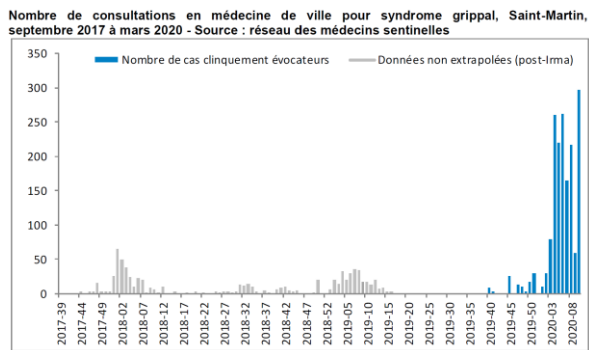
Graph 2. Martinique: Number of ILI consultations, in children less than 2 years, EW 10, 2017-20

Número de consultas por ETI, en niños menores de 2 años, SE 10, 2017-20

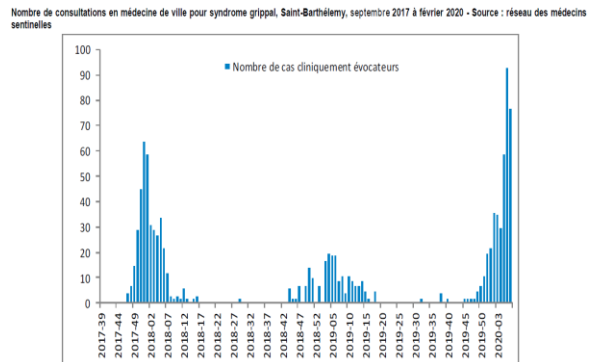
Nombre estimé de consultations pour syndrome grippal chez un médecin généraliste et seuil saisonnier, Martinique, juillet 2017 à mars 2020 - Source : réseau de médecins sentinelles



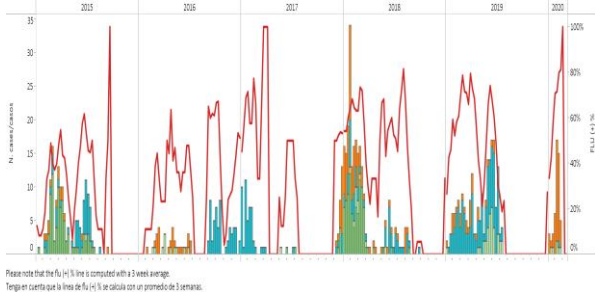
Graph 3. Saint-Martin: Number of ILI consultations , in children less than 2 years, EW 10, 2017-20
Número de consultas por ETI, en niños menores de 2 años, SE 10, 2017-20



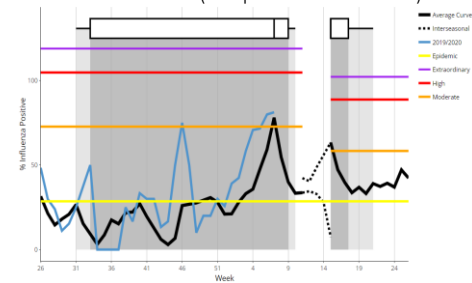
Graph 4. Saint-Barthelemy: Number of ILI consultations, in children less than 2 years, EW 10, 2017-20
Número de consultas por ETI, en niños menores de 2 años, SE 10, 2017-20



Graph 5. French Guiana: Influenza virus distribution, EW 10, 2015-20
Distribución del virus influenza, SE 10, 2015-20



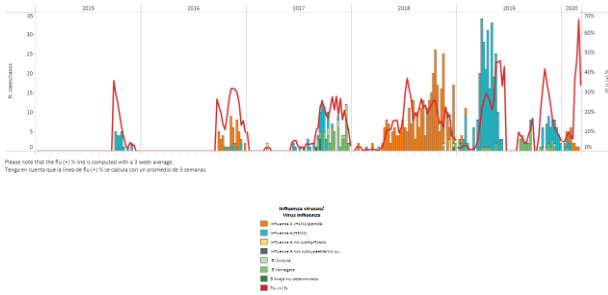
Graph 6. French Guiana: Percent positivity for influenza, EW 10, 2020 (compared to 2010-19)
Porcentaje de positividad de influenza, SE 10 de 2020 (comparado con 2010-19)



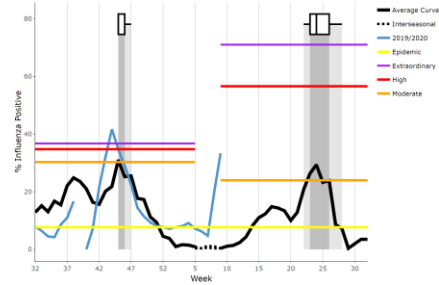
* National Influenza Weekly Report available [here](#) / Boletín nacional de influenza disponible [aquí](#)
**To view more epi data, view [here](#). / Para ver más datos epi, vea [aquí](#).

- During EW 10, at the national level, influenza detections were reported with influenza A(H1N1)pdm09 predominating. Influenza percent positivity appeared to increase precipitously due to the small number of samples in the previous week (Graph 1); respiratory syncytial viruses were not detected. The number of SARI hospitalizations decreased in comparison to the previous week and is at an epidemic level in comparison to previous seasons (Graph 3). / En la SE 10, a nivel nacional, se notificaron detecciones de influenza con predominio de los virus influenza A(H1N1)pdm09. El porcentaje de positividad de influenza pareció aumentar en forma precipitada debido al pequeño número de muestras en la semana previa (Gráfico 1); no se notificaron detecciones de VRS esta semana. El número de hospitalizaciones por IRAG disminuyó en comparación con la semana anterior y se encuentra en un nivel epidémico de actividad en comparación con las temporadas previas (Gráfico 3).

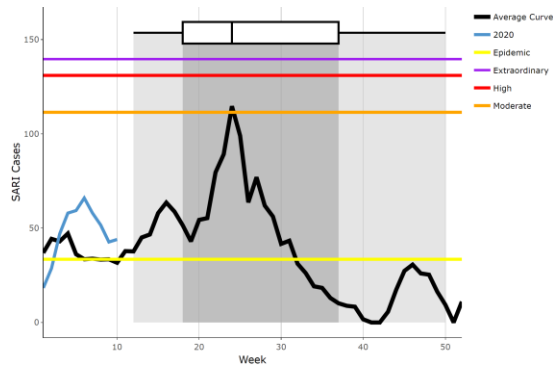
Graph 1. Haiti: Influenza virus distribution EW 10, 2015-20
Distribución de virus influenza SE 10, 2015-20



Graph 2. Haiti: Percent positivity for influenza, EW 10, 2020
(compared to 2015-19)
Porcentaje de positividad de influenza, SE 10 de 2020
(comparado con 2015-19)

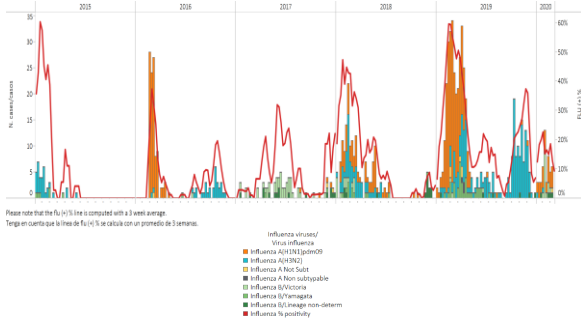


Graph 3. Haiti: Number of SARI cases, EW 10, 2020 (compared to 2017-19)
Número de casos de IRAG, SE 10 de 2020 (comparado con 2017-19)

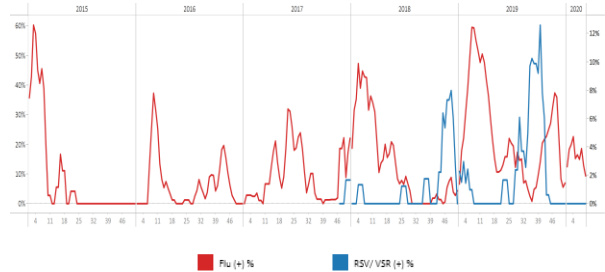


- In EW 10, influenza activity remained stable in comparison to the previous week, with detection of influenza A(H1N1)pdm09 (Graph 1). RSV was last reported in EW 45 and has not been reported during 2020 (Graph 2). Percent positivity for influenza decreased below the average curve seen in previous seasons and is at an epidemic level of activity (Graph 3). The number of SARI hospitalizations/100 hospitalizations decreased in comparison to previous weeks and was at a low level in when compared to the average curve (Graph 4). The number of pneumonia and ARI cases were similar to counts seen in EW 9 and remained below seasonal thresholds observed during the same period in 2011-19 (Graphs 5, and 6). / En la SE 10, la actividad de influenza se mantuvo estable en comparación con la semana anterior, con detección de influenza A(H1N1)pdm09 (Gráfico 1). RSV fue reportado en la SE 45 y no se ha informado durante 2020 (Gráfico 2). El porcentaje de positividad para influenza disminuyó por debajo de la curva promedio observada en temporadas anteriores y se encuentra en un nivel epidémico de actividad (Gráfico 3). El número de hospitalizaciones por IRAG/100 hospitalizaciones disminuyó en comparación con las semanas anteriores y estuvo en un nivel bajo en comparación con la curva promedio (Gráfico 4). El número de casos de neumonía e IRA fue similar a los recuentos observados en SE 9 y se mantuvo por debajo de los umbrales estacionales observados durante el mismo período en 2011-19 (Gráficos 5 y 6).

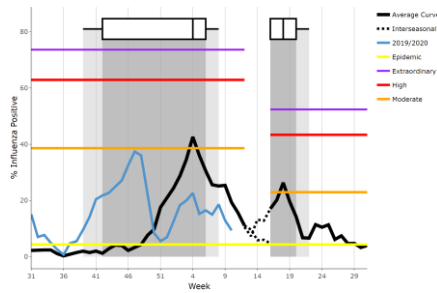
Graph 1. Jamaica: Influenza virus distribution, EW 10, 2015-20
Distribución de virus influenza SE 10, 2015-20



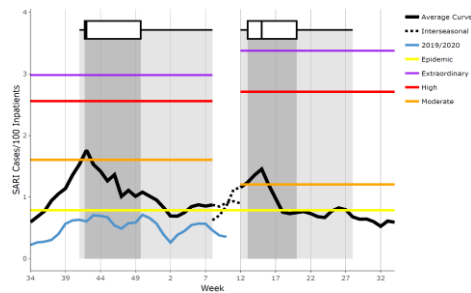
Graph 2. Jamaica: Influenza and RSV virus distribution, EW 10, 2015-20
Distribución de los virus influenza y VRS, SE 10, 2015-20



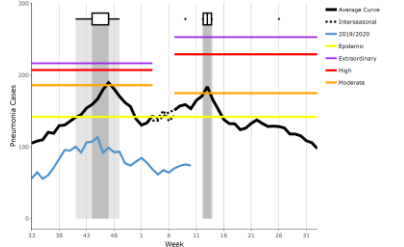
Graph 3. Jamaica: Percent positivity for influenza, EW 10, 2020
(compared to 2010-19)
Porcentaje de positividad de influenza, SE 10 de 2020
(comparado con 2010-19)



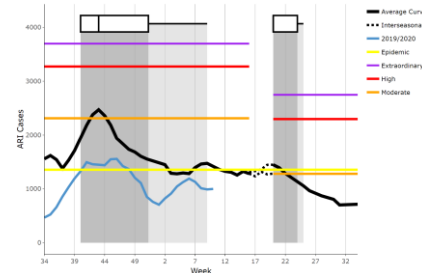
Graph 4. Jamaica: SARI hospitalizations/100 hospitalizations,
EW 10, 2020 (compared to 2011-19)
Hospitalizaciones de IRAG/100 hospitalizaciones, SE 10 de 2020
(comparado con 2011-19)



Graph 5. Jamaica: Number of pneumonia cases,
EW 10, 2014-20
Número de casos de neumonía, SE 10, 2014-2020



Graph 6. Jamaica: Number of ARI cases, EW 10, 2020
(compared to 2011-19)
Número de casos de IRA, SE 10 de 2020
(comparado con 2011-19)



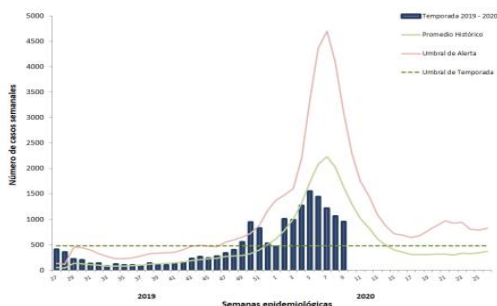
*To view more epi data, view [here](#). / Para ver más datos epi, vea [aquí](#)

Puerto Rico

- During EW 9, 2020, the number of influenza positive cases decreased as compared to the previous week and was below the average epidemic curve (Graph 1), with influenza A(H1N1)pdm09 predominance and influenza A(H3N2) and B viruses co-circulating. The Caguas health region continued with the highest influenza incidence rate (95.0-150.9 per 100,000 population) in the country (Graph 2). The age groups with almost equal numbers of influenza laboratory-confirmed cases were 0-4 and 5-9 years of age (Graph 3). In EW 9, a total of 32 hospitalizations were reported, 29 associated with an influenza A virus, 5 with influenza B virus, and 1 with influenza A and B virus co-infection; ILI activity continued elevated in Puerto Rico. / En la SE 9 de 2020, el número de casos positivos de influenza disminuyó en comparación con la semana anterior y estuvo por debajo de la curva epidémica promedio (Gráfico 1), con predominio de influenza A(H1N1)pdm09 y la circulación concurrente de los virus influenza A(H3N2) e influenza B. La región de salud de Caguas continuó con la tasa de incidencia de influenza más alta (95,0-150,9 por 100.000 habitantes) en el país (Gráfico 2). Los grupos de edad con un número casi igual de casos de influenza confirmados por laboratorio fueron de 0-4 y 5-9 años (Gráfico 3). En la SE 9, se reportaron un total de 32 hospitalizaciones, 29 asociadas con un virus influenza A, 5 con virus influenza B y 1 con una coinfección por virus influenza A y B; la actividad de la ETI continuó elevada en Puerto Rico.

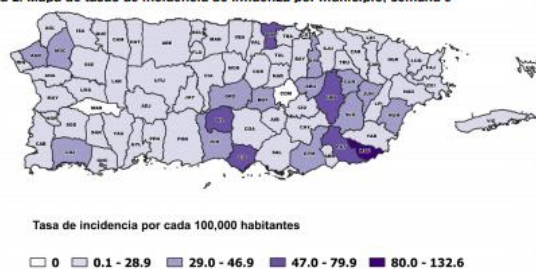
Graph 1. Puerto Rico: Influenza-positive cases EW 9, 2019-20
Casos positivos para influenza SE 9, 2019-20

Gráfica 1. Casos de influenza reportados por semana epidemiológica, Temporada 2018 – 2019, Puerto Rico



Graph 2. Puerto Rico: Influenza incidence rates by municipality, EW 9, 2020

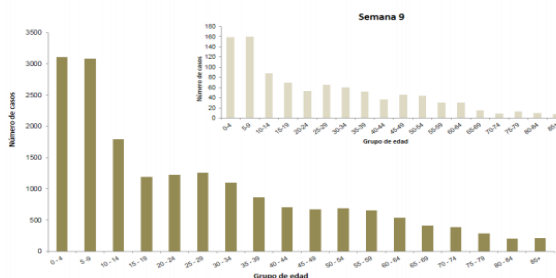
Tasas de incidencia de influenza por municipio, SE 9 de 2020
Gráfica 2. Mapa de tasas de incidencia de influenza por municipio, semana 9



Graph 3. Puerto Rico: Number of cases positive for influenza by age group, EW 9, 2020
Número de casos positivos para influenza por grupo de edad, SE 9 de 2020

Gráfica 3. Número de casos positivos a influenza por grupo de edad, Puerto Rico, Temporada 2018-2019

Casos Confirmados

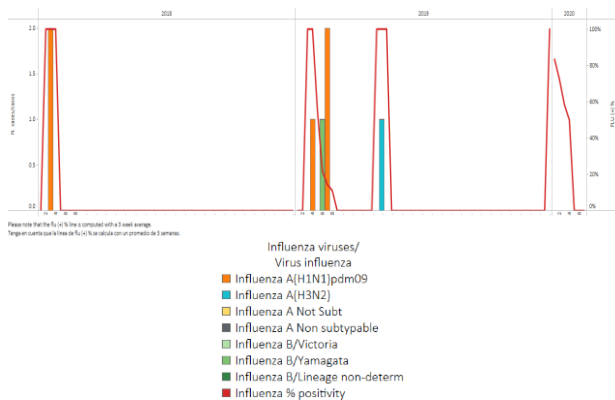


*To view more epi data, view [here](#). / Para ver más datos epi, vea [aquí](#).

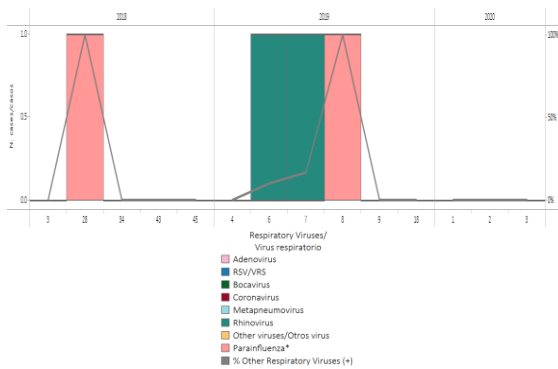
Saint Kitts and Nevis

- In recent months influenza A(H3N2) viruses have circulated; no influenza detections were reported during EW 7 (Graph 1). During EW 7, no RSV have been detected; circulation of adenoviruses and rhinoviruses have been reported in recent months. / En los últimos meses han circulado los virus influenza A(H3N2); no se informaron detecciones de influenza durante la SE 7 (Gráfico 1). Durante la SE 7, no se ha detectado al VRS; en los últimos meses se ha informado la circulación de adenovirus y rinovirus.

Graph 1. Saint Kitts and Nevis: Influenza virus distribution, EW 7, 2015-20
Distribución de virus influenza, SE 7, 2015-20



Graph 2. Saint Kitts and Nevis: RSV and other respiratory viruses distribution, EW 7, 2015-20
Distribución de VRS y otros virus respiratorios, SE 7, 2015-20

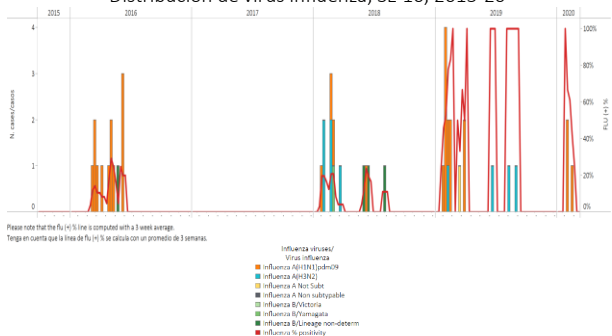


*To view more epi data, view [here](#). / Para ver más datos epi, vea [aquí](#).

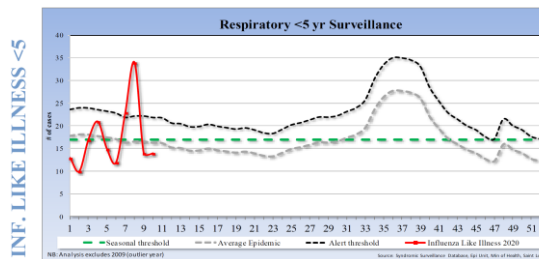
Saint Lucia

- In recent weeks influenza A(H1N1)pdm09 viruses have circulated; no influenza detections were reported during EW 10 (Graph 1). Among those aged < 5 years, the number of outpatient ILI cases decreased in comparison to the previous week and dropped below expected levels (Graph 2). ILI activity continued to increase among those aged ≥ 5 years as compared to the previous week and remained above the alert threshold (Graph 3). During EW 10, the number of SARI cases was lower than expected and remained below the average number of SARI hospitalizations reported during the same time period in the 2016-19 seasons (Graph 4/ En las últimas semanas han circulado los virus de la influenza A (H1N1) pdm09; no se informaron detecciones de influenza durante la SE 10 (Gráfico 1). Entre los menores de 5 años, el número de casos de ILI ambulatorio disminuyó en comparación con la semana anterior y cayó por debajo de los niveles esperados (Gráfico 2). La actividad de ILI continuó aumentando entre las personas ≥ 5 años en comparación con la semana anterior y se mantuvo por encima del umbral de alerta (Gráfico 3). Durante la SE 10, el número de casos de IRAG fue menor de lo esperado y se mantuvo por debajo del número promedio de hospitalizaciones por IRAG reportadas durante el mismo período en las temporadas 2016-19 (Gráfico 4).

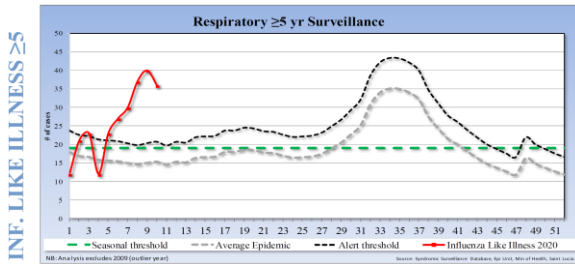
Graph 1. Saint Lucia: Influenza virus distribution, EW 10, 2015-20
Distribución de virus influenza, SE 10, 2015-20



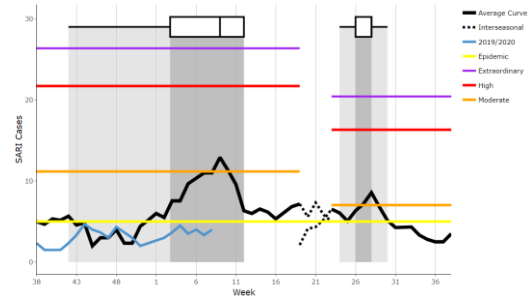
Graph 2. Saint Lucia: ILI case distribution by EW among the < 5 years of age, EW 10, 2016-20
Distribución de ETI por SE entre los <5 años, SE 10, 2016-20



Graph 3. Saint Lucia: ILI case distribution among the ≥ 5 years of age, EW 10, 2016-20
 Número de casos de ETI en los ≥ 5 años, SE 10, 2016-19



Graph 4. Saint Lucia: Number of SARI cases, EW 9, 2020 (compared to 2016-20)
 Número de casos de IRAG, SE 9 de 2020 (comparado con 2016-19)

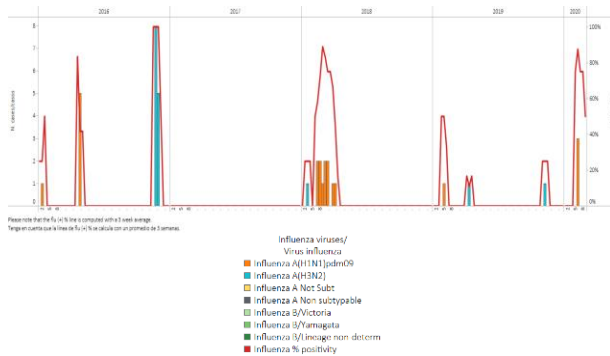


*To view more epi data, view [here](#). / Para ver más datos epi, vea [aquí](#).

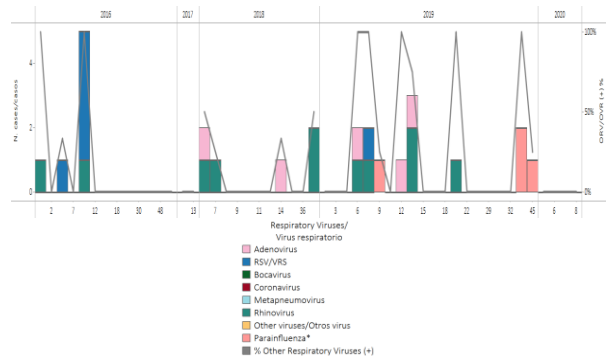
Saint Vincent and the Grenadines

- During EW 7, influenza virus activity was reported, influenza activity appears to be elevated due to the small number of samples (two samples) analyzed with influenza B/Victoria virus circulating (Graphs 1). RSV and other respiratory virus circulation was not reported this week. In recent months, circulation of adenoviruses has been reported (Graph 2). The percentage of SARI cases increased in comparison to the previous week and was above the levels observed in 2018-2019 seasons for the same period (Graph3). / Durante la SE 7, se informó la actividad del virus de la influenza, la actividad de la influenza parece ser elevada debido al pequeño número de muestras (dos muestras) analizadas con la circulación concurrente del virus influenza B / Victoria (Gráficos 1). No se informó la circulación del VRS ni la de otros virus respiratorios esta semana. En los últimos meses, se ha informado la circulación de adenovirus (Gráfico 2). El porcentaje de casos de IRAG aumentó con respecto a la semana previa y estuvo por encima de los niveles observados en las temporadas 2018 y 2019 para el mismo período (Gráfico 3).

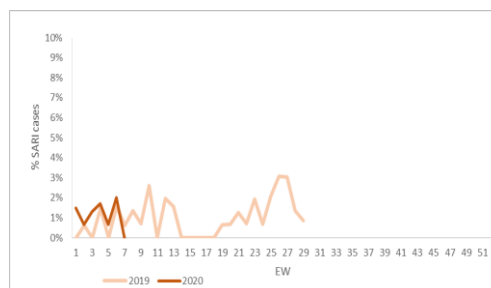
Graph 1. Saint Vincent and the Grenadines: Influenza virus distribution, EW 9, 2015-20
 Distribución de virus influenza, SE 9, 2015-20



Graph 2. Saint Vincent and the Grenadines: RSV and other respiratory viruses distribution, EW 9, 2015-20
 Distribución de VRS y otros virus respiratorios, SE 9, 2015-20



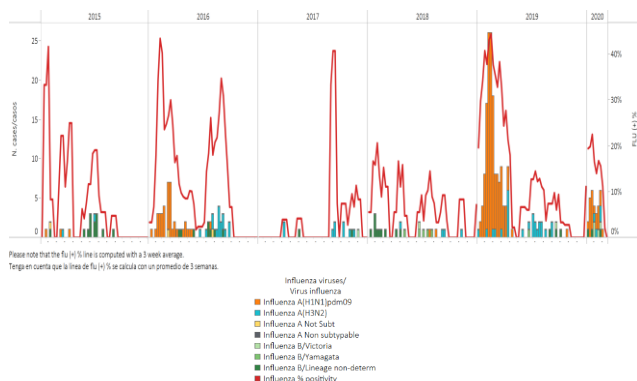
Graph 3. Saint Vincent and the Grenadines: Percentage of SARI cases, EW 9, 2020 (compared to 2018-19)
 Porcentaje de casos de IRAG, SE 9 de 2020 (comparado con 2018-19)



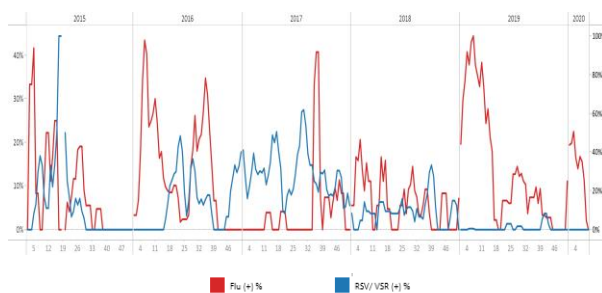
*To view more epi data, view [here](#). / Para ver más datos epi, vea [aquí](#).

- Influenza virus activity was last detected during EW 7; influenza B/Victoria, A(H1N1)pdm09, and A(H3N2) viruses co-circulated in recent weeks (Graph 1). No RSV detections have been reported during 2020 and influenza percent positivity decreased this week (Graphs 2 and 3). During EW 10, the number of patients presenting with influenza-like illness decreased slightly in comparison to EW 9 (Graph 4). The number of SARI hospitalizations / 100 hospitalizations decreased in comparison to the previous week and was below the average number of observed in previous seasons during the same time period (Graph 5). / La actividad del virus de la influenza se detectó por última vez durante la SE 7; los virus de la influenza B/Victoria, A (H1N1) pdm09 y A (H3N2) cocircularon en las últimas semanas (Gráfico 1). No se han reportado detecciones de VSR durante 2020 y el porcentaje de positividad de influenza disminuyó esta semana (Gráficos 2 y 3). Durante la SE 10, el número de pacientes que presentaron enfermedad tipo influenza disminuyó ligeramente en comparación con la SE 9 (Gráfico 4). La cantidad de hospitalizaciones por IRAG/100 hospitalizaciones disminuyó en comparación con la semana anterior y estuvo por debajo de la cantidad promedio observada en temporadas anteriores durante el mismo período de tiempo (Gráfico 5).

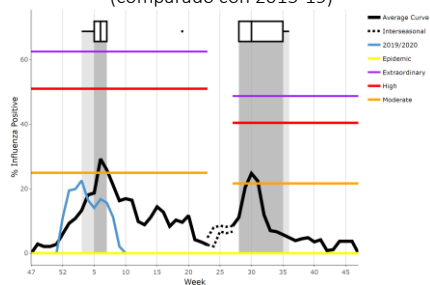
Graph 1. Suriname: Influenza virus distribution, EW 10, 2015-20
Distribución de virus influenza, SE 10, 2015-20



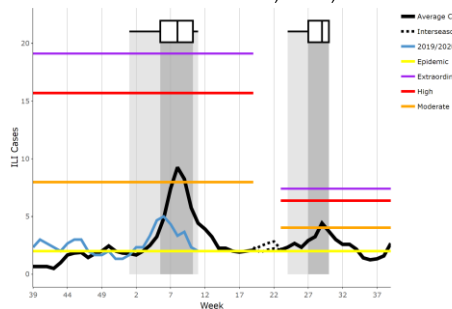
Graph 2. Suriname: Influenza and RSV distribution, EW 10, 2015-20
Distribución de los virus influenza y VRS, SE 10, 2015 -20



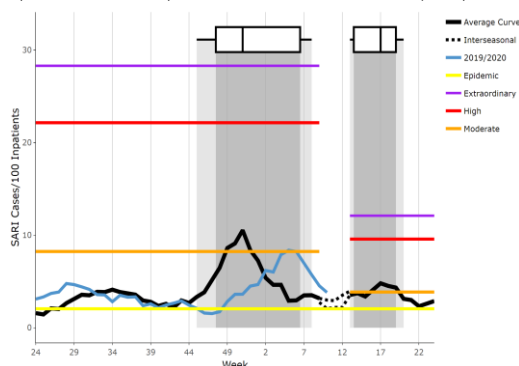
Graph 3. Suriname: Percent positivity for influenza, EW 10, 2020
(compared to 2015-19)
Porcentaje de positividad de influenza, SE 10 de 2020
(comparado con 2015-19)



Graph 4. Suriname: Number of ILI cases, EW 10, 2016-20
Número de casos de ETI, SE 10, 2016-20



Graph 5. Suriname: SARI cases / 100 hospitalizations, EW 10, 2020 (compared to 2014-19)
Casos de IRAG por cada 100 hospitalizaciones, SE 10 de 2020 (comparado con 2014-19)

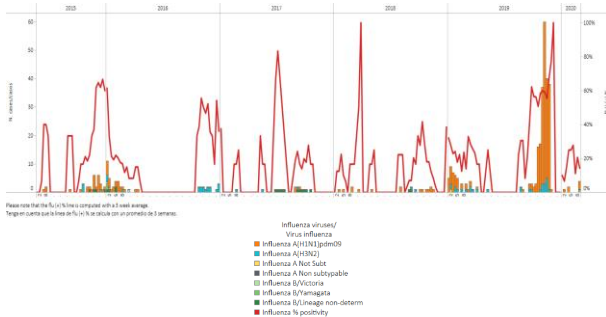


*To view more epi data, view [here](#). / Para ver más datos epi, vea [aquí](#).

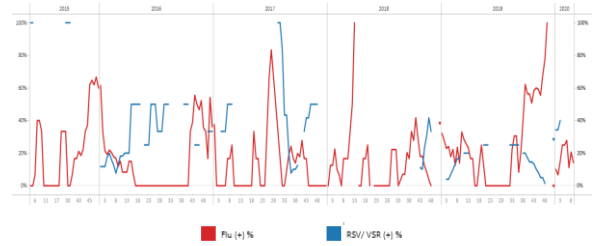
Trinidad and Tobago

- During EW 9, 2020, reported influenza activity was low with predominance of influenza A(H1N1)pdm09 and B/Yamagata viruses (Graph 1). Influenza percent positivity decreased in comparison to the previous week; RSV and other respiratory viruses were not detected in EW 9 (Graphs 2 and 3). / Durante la SE 9, 2020, la actividad de influenza reportada fue baja con predominio de los virus de influenza A (H1N1) pdm09 y B / Yamagata (Gráfico 1). El porcentaje de positividad de la influenza disminuyó en comparación con la semana anterior; El RSV y otros virus respiratorios no se detectaron en la SE 9 (Gráficos 2 y 3).

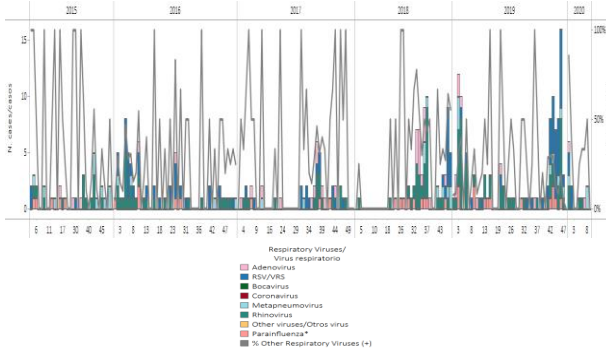
Graph 1. Trinidad and Tobago: Influenza virus distribution, EW 9, 2015-20
Distribución de virus influenza, SE 9, 2015-20



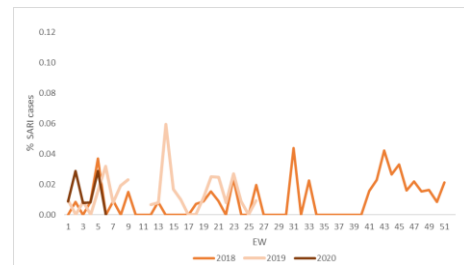
Graph 2. Trinidad and Tobago: Influenza and RSV distribution, EW 9, 2015-20
Distribución de virus influenza y VRS, SE 9, 2015-20



Graph 3. Trinidad and Tobago: RSV and other respiratory viruses distribution, EW 9, 2015-20
Distribución de VRS y otros virus respiratorios, SE 9, 2015-20



Graph 4. Trinidad and Tobago: Percentage of SARI cases, EW 9, 2020 (compared to 2018-19)
Porcentaje de casos de IRAG, SE 9 de 2020 (comparado con 2018-19)

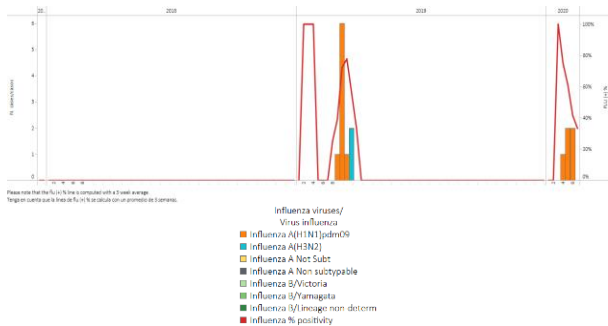


*To view more epi data, view [here](#). / Para ver más datos epi, vea [aquí](#).

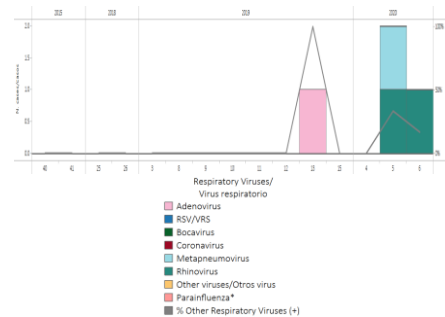
Turks and Caicos Islands

- Since EW 4, influenza activity has been reported with circulation of influenza A(H1N1)pdm09 viruses in previous weeks (Graph 1). There have been no reports of RSV activity; adenoviruses, bocavirus and metapneumovirus activity has been detected in recent weeks (Graph 2). Desde la SE 4 se ha informado actividad de influenza con circulación de virus de influenza A(H1N1)pdm09 en semanas anteriores (Gráfico 1). No ha habido informes de actividad de VRS; se ha detectado la actividad de adenovirus, bocavirus y metapneumovirus en las últimas semanas (Gráfico 2).

Graph 1. Turks and Caicos Islands: Influenza virus distribution, EW 7, 2015-20
Distribución de virus influenza, SE 7, 2015-20



Graph 2. Turks and Caicos Islands: RSV and other respiratory viruses distribution, EW 7, 2015-20
Distribución de VRS y otros virus respiratorios, SE 7, 2015-20

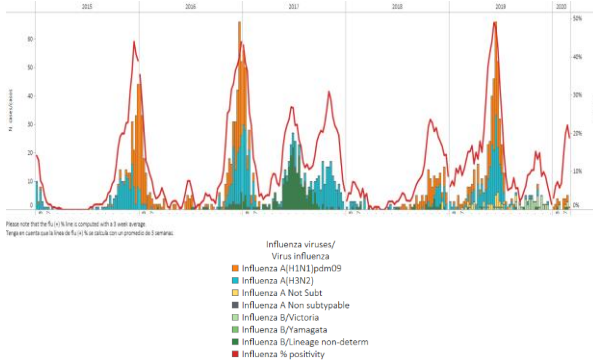


*To view more epi data, view [here](#). / Para ver más datos epi, vea [aquí](#).

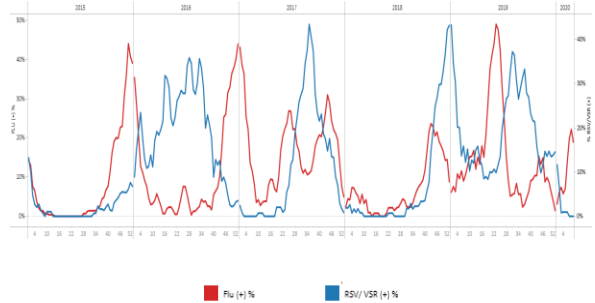
Costa Rica

- During EW 9-10, 2020, influenza percent positivity decreased in comparison to the previous week with a small number of samples analyzed. Few detections of influenza (one sample) were reported with A(H1N1)pdm09 circulating in recent weeks (Graphs 1 and 3). RSV activity decreased with no detections this week (Graph 2). The number of SARI cases continued to decrease and was at interseasonal levels (Graph 4). The number of ILI cases increased in comparison to the previous week and was above at the epidemic threshold, with 109 ILI cases reported in EW 9 and 41 cases in EW 10 (Graph 5). / En las SE 9-10 de 2020, el porcentaje de positividad de influenza disminuyó en comparación con la semana anterior con un pequeño número de muestras analizadas. Se notificaron pocas detecciones de influenza (una muestra) con A(H1N1)pdm09 circulando en semanas recientes (Gráficos 1 y 3). La actividad del VRS disminuyó sin detecciones esta semana (Gráfico 2). El número de casos de IRAG continuó disminuyendo y se ubicó en niveles interestacionales (Gráfico 4). El número de casos de ETI aumentó en comparación con la semana anterior y se ubicó sobre el umbral epidémico, con 109 casos de ETI reportados en SE 9 y 41 casos reportados en SE 10 (Gráfico 5).

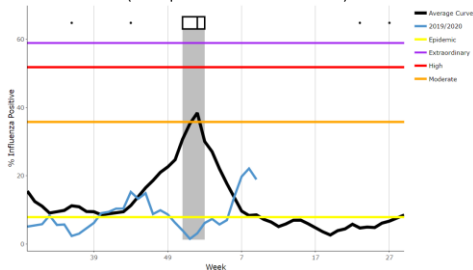
Graph 1. Costa Rica: Influenza virus distribution, EW 10, 2015-20
Distribución de virus influenza por SE 10, 2015-20



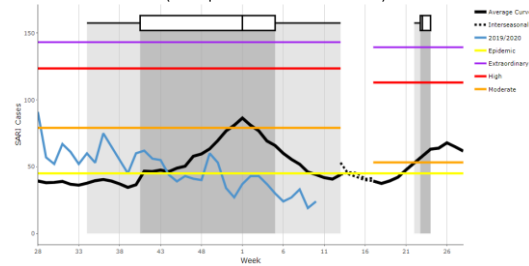
Graph 2. Costa Rica: Influenza and RSV distribution, EW 10, 2015-20
Distribución de los virus influenza y VRS, SE 10, 2015-20



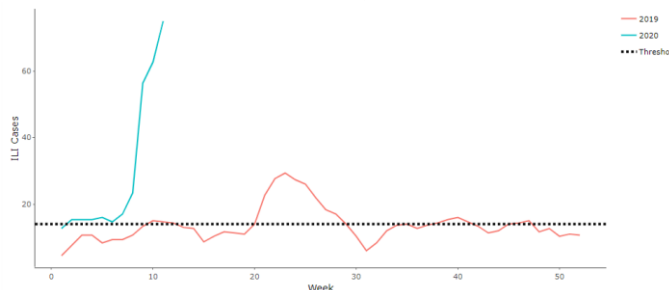
Graph 3. Costa Rica: Percent positivity for influenza, EW 10, 2020
(compared to 2011-19)
Porcentaje de positividad de influenza, SE 10 de 2020
(comparado con 2011-19)



Graph 4. Costa Rica: Number of SARI cases, EW 10, 2020
(compared to 2013-19)
Número de casos de IRAG, SE 10 de 2020
(comparado con 2013-19)



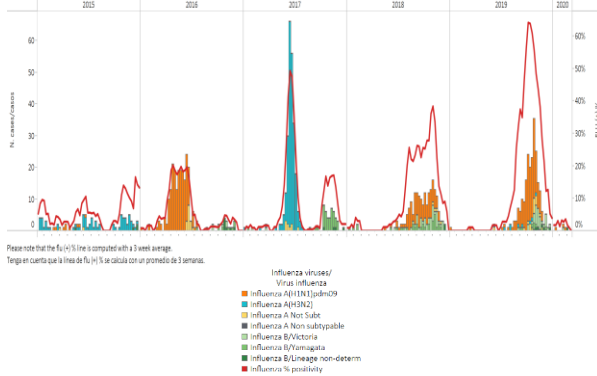
Graph 5. Costa Rica: Number of ILI cases, EW 10, 2019-20
Número de casos de ETI, SE 10 de 2019-20



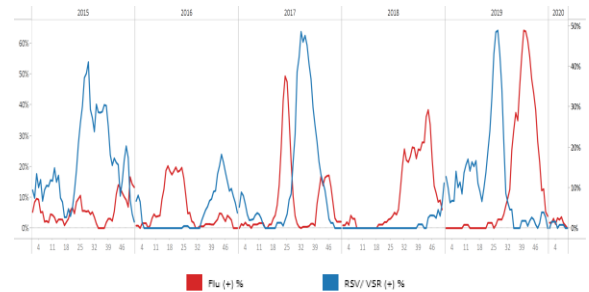
*To view more epi data, view [here](#). / Para ver más datos epi, vea [aquí](#).

- During EW 10, 2020, no influenza detections were reported with influenza B viruses circulating in recent weeks. Influenza percent positivity was below the seasonal threshold at a low level of activity (Graphs 1 and 3). No RSV detections were reported this week, with adenovirus circulating (Graphs 2 and 4). The number of SARI and pneumonia cases slightly decreased as compared to the previous week and was at interseasonal levels (Graphs 5 and 6). / Durante la SE 10 de 2020, no se notificaron detecciones de influenza, con la circulación de los virus influenza B en semanas previas. El porcentaje de positividad de la influenza estuvo por debajo del umbral estacional en un nivel bajo de actividad (Gráficos 1 y 3). No se notificaron detecciones de VRS esta semana, con la circulación de adenovirus (Gráficos 2 y 4). El número de casos de IRAG y neumonía disminuyó ligeramente en comparación con la semana anterior y se encontraba en niveles interestacionales (Gráficos 5 y 6).

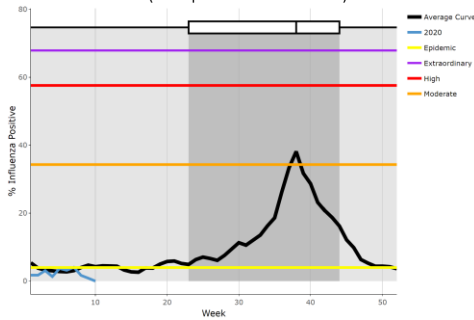
Graph 1. El Salvador: Influenza virus distribution, EW 10, 2015-20
Distribución de virus influenza, SE 10, 2015-20



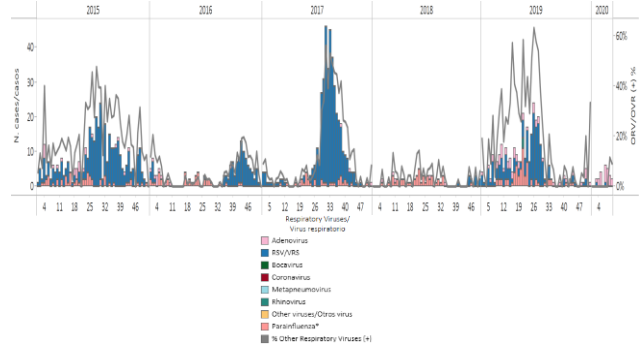
Graph 2. El Salvador: Influenza and RSV distribution, EW 10, 2015-20
Distribución de los virus influenza y VRS, SE 10, 2015-20



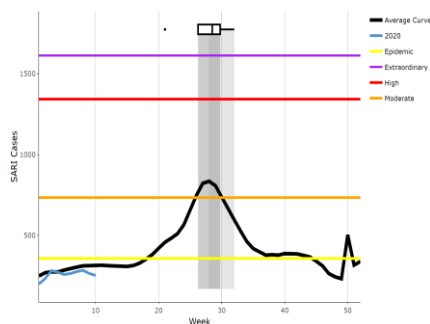
Graph 3. El Salvador: Percent positivity for influenza, EW 10, 2020 (compared to 2010-19)
Porcentaje de positividad de influenza, SE 10 de 2020 (comparación 2010-19)



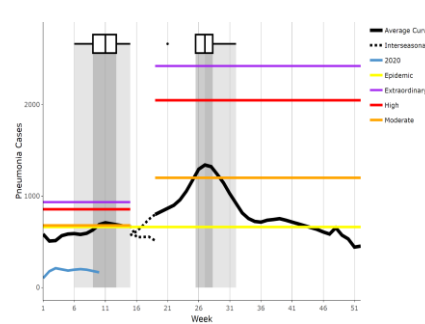
Graph 4. El Salvador: RSV and other respiratory viruses distribution, EW 10, 2015-20
Distribución del VRS y otros virus respiratorios, SE 10, 2015-20



Graph 5. El Salvador: Number of SARI cases out of total hospitalizations, EW 10, 2020 (compared to 2016-2019)
Número de casos de IRAG del total de hospitalizaciones, SE 10 de 2020 (comparado con 2016-19)



Graph 6. El Salvador: Number of pneumonia cases, EW 10, 2020 (compared to 2016-2020)
Número de casos de neumonía, SE 10 de 2020 (comparado con 2016-19)

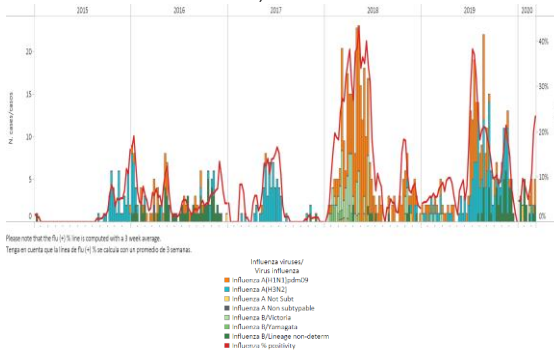


*To view more epi data, view [here](#). / Para ver más datos epi, vea [aquí](#).

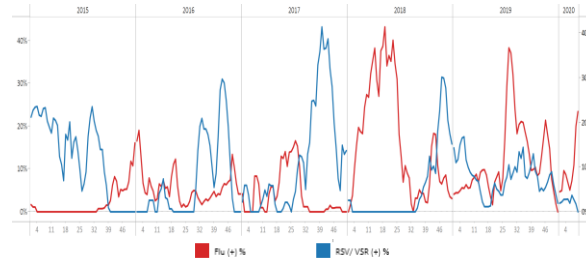
Honduras

- After a few detections of influenza A and B viruses in previous weeks, few influenza A(H1N1)pdm09 detections were reported in EW 10. No RSV detections were reported this week with low activity in previous weeks (Graphs 1, 2 and 3). SARI activity increased and remained below the seasonal average (Graph 4). / Después de algunas detecciones de los virus influenza A y B en semanas anteriores, se notificaron contadas detecciones de influenza A(H1N1)pdm09 en la SE 10. No se informaron detecciones de VRS esta semana con baja actividad en las semanas previas (Gráficos 1, 2 y 3). La actividad de IRAG aumentó y se mantuvo por debajo del promedio estacional (Gráfico 4).

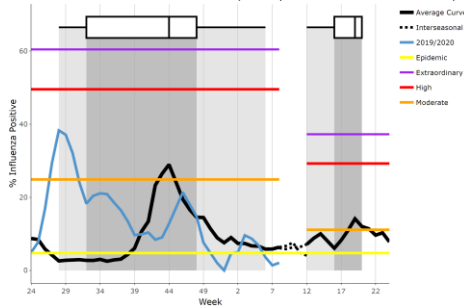
Graph 1. Honduras: Influenza virus distribution from sentinel surveillance, EW 10, 2015-20
Distribución virus de la influenza de la vigilancia centinela, SE 10, 2015-20



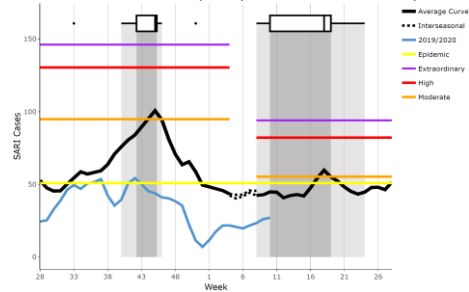
Graph 2. Honduras: Influenza and RSV distribution from sentinel surveillance, EW 10, 2015-20
Distribución de los virus influenza y VRS, SE 10, 2015-20



Graph 3. Honduras: Percent positivity for influenza, from sentinel surveillance, EW 108, 2020 (compared to 2010-19)
Porcentaje de positividad de influenza, de la vigilancia centinela, SE 10 de 2020 (comparado con 2010-19)



Graph 4. Honduras: SARI cases, from sentinel surveillance, EW 10, 2020 (compared to 2010-19)
Casos de IRAG de la vigilancia centinela, SE 10 de 2020 (comparado con 2010-19)

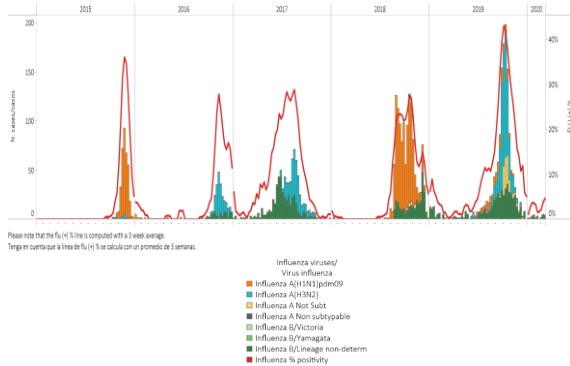


*To view more epi data, view [here](#). / Para ver más datos epi, vea [aquí](#).

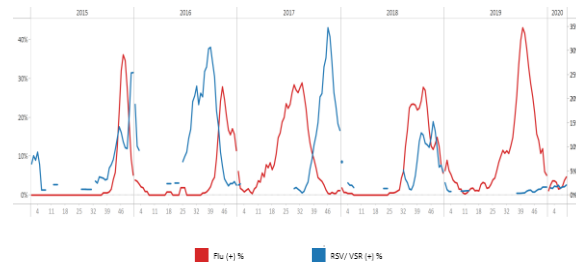
Nicaragua

- In EW 9, few influenza detections were reported with influenza B viruses circulating; influenza percent positivity was at a low level (Graphs 1 and 3). Few RSV and parainfluenza detections were reported (Graph 2). / En la SE 10, se informaron pocas detecciones de influenza con la circulación del virus influenza B; el porcentaje de positividad de la influenza estuvo en un nivel bajo (Gráficos 1 y 3). Se informaron pocas detecciones de VRS y parainfluenza (Gráfico 2).

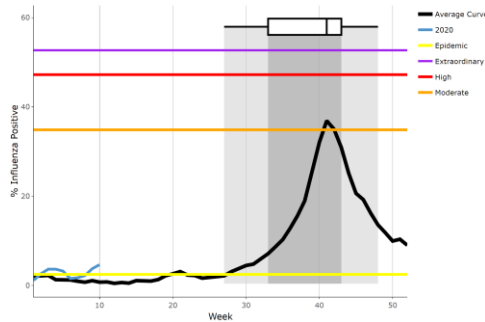
Graph 1. Nicaragua. Influenza virus distribution, EW 10, 2015-20
Distribución de influenza, SE 10, 2015-20



Graph 2. Nicaragua: Influenza and RSV distribution, EW 10, 2015-20
Distribución de los virus influenza y VRS, SE 10, 2015-20



Graph 3. Nicaragua : Percent positivity for influenza, from sentinel surveillance; EW 10, 2020 (compared to 2010-19)
Porcentaje de positividad de influenza de la vigilancia centinela; SE 10 de 2020 (comparado con 2010-19)

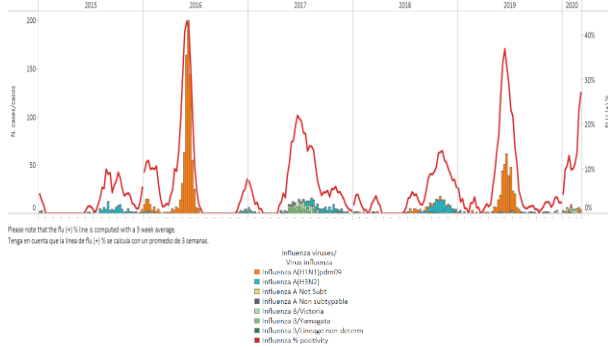


*To view more epi data, view [here](#). / Para ver más datos epi, vea [aquí](#).

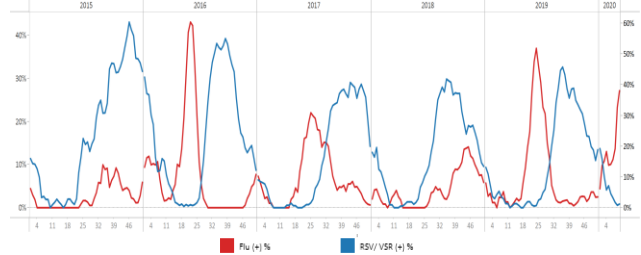
Panama

- In EW 10, an increased number of influenza detections have been reported with influenza A(H1N1)pdm09 and B/Victoria circulating. Few RSV detections were reported this week, with parainfluenza and coronavirus co-circulating (Graph 1, 2 and 4). Influenza percent positivity appears to be high due to the small number of samples analyzed (Graph 3). / En la SE 10, se ha informado un mayor número de detecciones de influenza con circulación de influenza A(H1N1)pdm09 y B/Victoria. Se informaron contadas detecciones de VRS esta semana, con la circulación concurrente de parainfluenza y coronavirus (Gráficos 1, 2 y 4). El porcentaje de positividad de influenza parece ser alto debido al pequeño número de muestras analizadas (Gráfico 3).

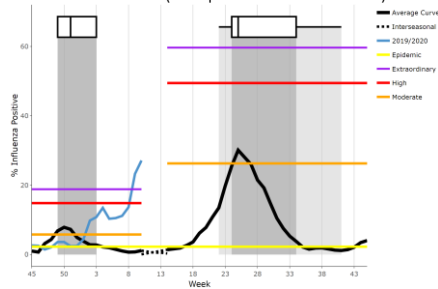
Graph 1. Panama: Influenza virus distribution, EW 10, 2015-20
Distribución virus de influenza, SE 10, 2015-20



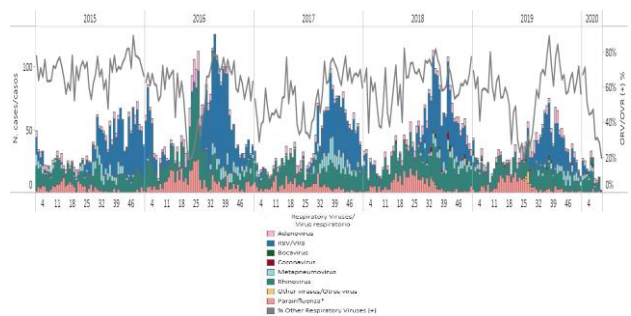
Graph 2. Panama: Influenza and RSV distribution, EW 10, 2015-20
Distribución de virus influenza y VRS, EW 10, 2015-20



Graph 3. Panama: Percent positivity for influenza, from sentinel surveillance, EW 10, 2020 (compared to 2010-19)
Porcentaje de positividad de influenza, de la vigilancia centinela, SE 19 de 2020 (comparado con 2010-19)



Graph 4. Panama: RSV and other respiratory viruses distribution, EW 10, 2015-20
Distribución del VRS y otros virus respiratorios, SE 10, 2015-20



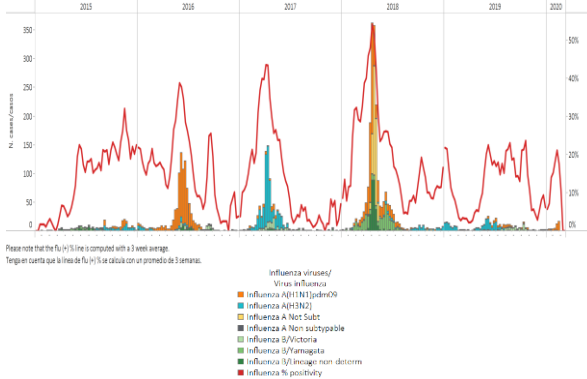
*To view more epi data, view [here](#). / Para ver más datos epi, vea [aquí](#).

South America / América del Sur – Andean countries / Países andinos

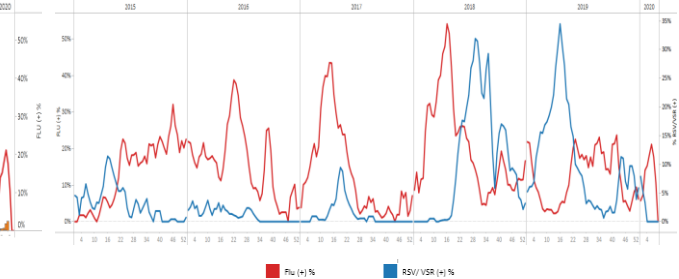
Bolivia

- During EW 9, 2020, influenza percent positivity decreased and was at the average epidemic curve with influenza A(H1N1)pdm09 viruses circulating in previous weeks. No RSV detections were reported (Graphs 1, 2, and 3). / Durante la SE 9 de 2020, el porcentaje de positividad de la influenza disminuyó y estuvo en la curva epidémica promedio con la circulación de los virus influenza A(H1N1)pdm09 en semanas previas. No se informaron detecciones de VRS (Gráficos 1, 2 y 3)

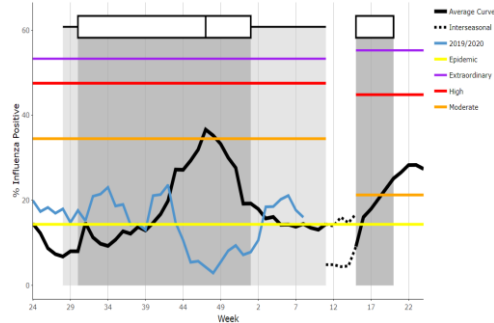
Graph 1. Bolivia: Influenza virus distribution, EW 9, 2015-20
Distribución de influenza, SE 9, 2015-20



Graph 2. Bolivia: Influenza and RSV distribution, EW 9, 2015-20
Distribución de los virus influenza y VRS, SE 9, 2015-20



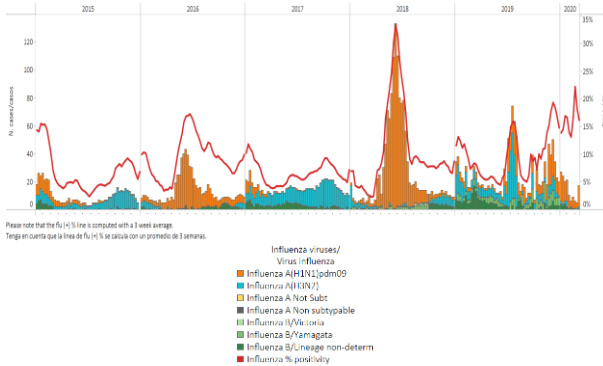
Graph 3. Bolivia: Percent positivity for influenza,
EW 8, 2020 (compared to 2010-19)
Porcentaje de positividad de influenza, SE 8 de 2020
(comparado con 2010-19)



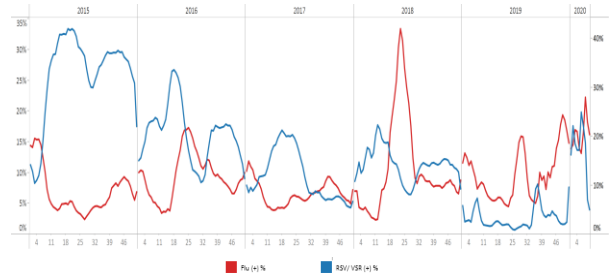
*To view more epi data, view [here](#). / Para ver más datos epi, vea [aquí](#).

- In EW 10, 2020, decreased influenza detections were reported with influenza A(H1N1)pdm09 and A(H3N2) viruses co-circulating (Graph 1). Few RSV detections were reported in previous weeks (Graph 2). In EW 10, influenza transmissibility, represented by the composite of ARI cases and influenza positivity, remained similar in comparison to the previous week and was slightly above the average epidemic curve (Graph 3). Throughout the 2019-2020 season, SARI case counts, pneumonia-related hospitalizations, and the number of ARI cases continued lower than the average seasonal levels (Graphs 4, 5 and 6). / En la SE 10 de 2020, se reportaron mayores detecciones de influenza con la circulación concurrente de los virus influenza A(H1N1)pdm09 e influenza A(H3N2) (Gráfico 1). Se informaron pocas detecciones de VRS en semanas previas (Gráfico 2). En la SE 10, la transmisibilidad de la influenza, representada por la combinación de casos de IRA y positividad de la influenza, se ubicó ligeramente por encima de la curva epidémica promedio (Gráfico 3). A lo largo de la temporada 2019-2020, los recuentos de casos de IRAG, las hospitalizaciones relacionadas con la neumonía y la cantidad de casos de IRA continuaron por debajo de los niveles estacionales promedio (Gráficos 4, 5 y 6).

Graph 1. Colombia: Influenza virus distribution, EW 10, 2015-20
Distribución de virus influenza, SE 10, 2015-20

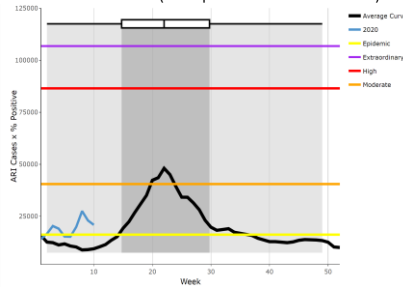


Graph 2. Colombia: Influenza and RSV distribution, EW 10, 2015-20
Distribución de virus influenza y VRS, SE 10, 2015-20



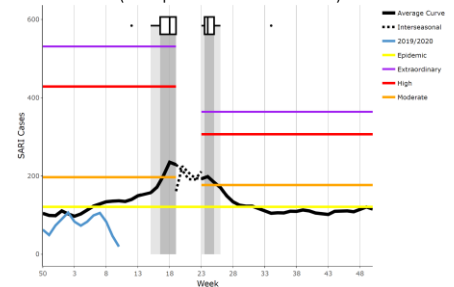
Graph 3. Colombia: Composite ARI cases x Percent positivity for influenza, EW 10, 2020 (compared to 2012-19)

Producto de casos de IRA x Porcentaje de positividad de influenza, SE 10 de 2020 (comparado con 2012-19)



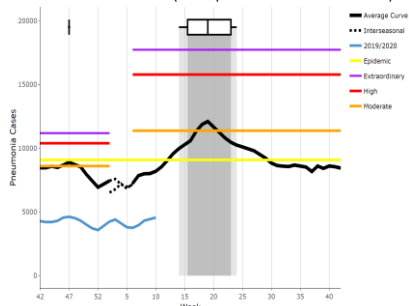
Graph 4. Colombia: Number of SARI cases, EW 10, 2020 (compared to 2013-19)

Número de casos de IRAG, SE 10 de 2020 (comparado con 2013-19)



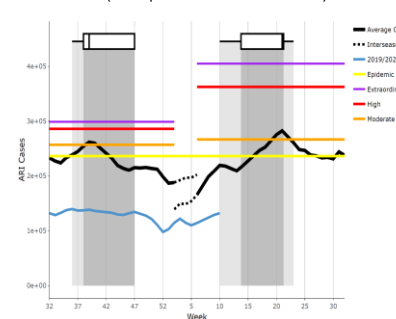
Graph 5. Colombia: Number of pneumonia-related hospitalizations, EW 10, 2020 (compared to 2012-19)

Número de hospitalizaciones asociadas a neumonía, SE 10 de 2020 (comparado con 2012-19)



Graph 6. Colombia: Number of ARI cases (from all consultations), EW 10, 2020 (compared to 2012-19)

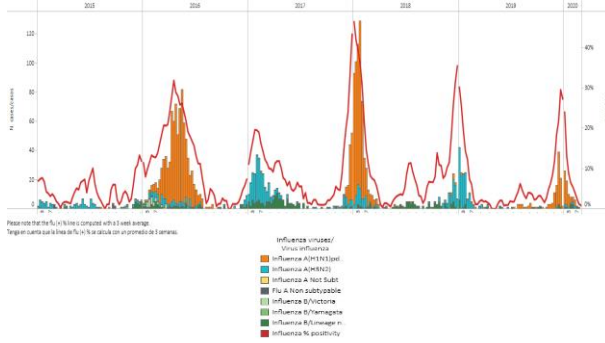
Número de casos de IRA, (de todas consultas) SE 10 de 2020 (comparado con 2012-19)



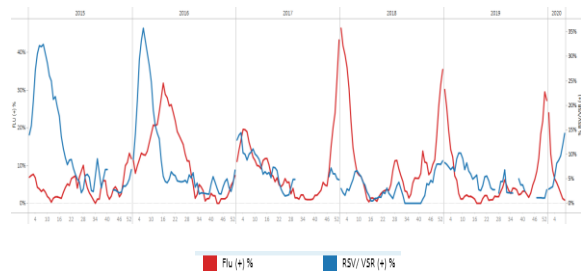
*To view more epi data, view [here](#). / Para ver más datos epi, vea [aquí](#).

- During EW 9, influenza activity decreased to interseasonal levels; influenza activity decreased to low levels with influenza A(H3N2) virus circulating in recent weeks (Graphs 1 and 3). Few RSV detections were reported (Graphs 1 y, 2) with parainfluenza virus co-circulating in previous weeks. / Durante la SE 9, la actividad de influenza disminuyó a niveles interestacionales; la actividad de influenza disminuyó a niveles bajos con la circulación del virus influenza A(H3N2) en semanas previas (Gráficos 1 y 3). Se informaron pocas detecciones de VRS (Gráficos 1 y 2) con la circulación concurrente del virus parainfluenza en semanas anteriores.

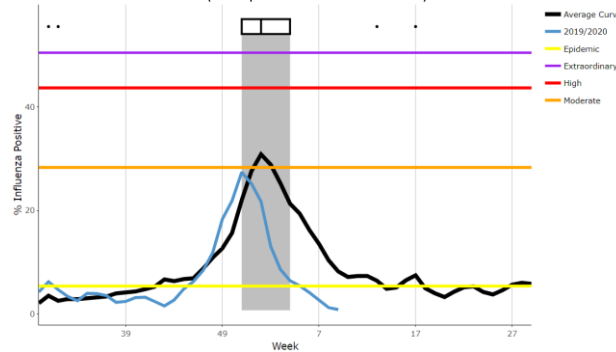
Graph 1. Ecuador: Influenza virus distribution from SARI sentinel cases, EW 9, 2015-20
Distribución de virus influenza de casos de IRAG centinela SE 9, 2015-20



Graph 2. Ecuador: Influenza and RSV distribution from SARI sentinel cases, EW 9, 2015-20
Distribución de los virus influenza y VRS de casos de IRAG centinela, SE 9, 2015-20



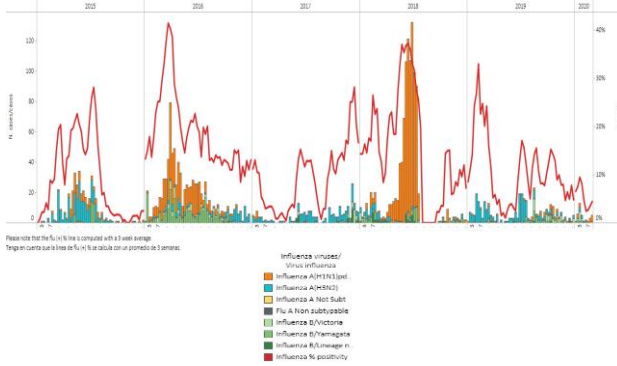
Graph 3. Ecuador: Percent positivity for influenza, EW 9, 2020
(in comparison to 2011-19)
Porcentaje de positividad de influenza, SE 9 de 2020
(comparado con 2011-19)



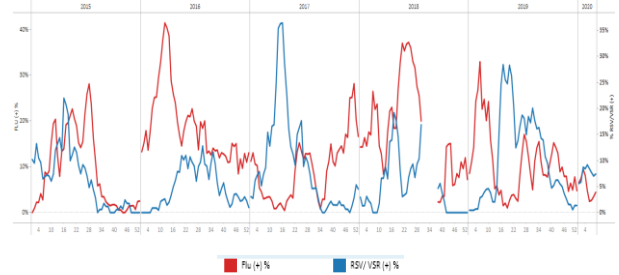
*To view more epi data, view [here](#). / Para ver más datos epi, vea [aquí](#).

- During EW 9, few influenza detections were reported with influenza A(H1N1)pdm09 and influenza B viruses co-circulating (Graph 1). Influenza percent positivity increased and was at a low level of activity (Graphs 1 and 3). Few RSV detections were reported, and RSV percent positivity decreased to less than 10% in comparison to the previous week (Graph 2) with co-circulation of parainfluenza, rhinovirus, and metapneumovirus. At the national level, SARI case counts among all hospitalizations slightly increased and continued at interseasonal levels (Graph 4). At the national level, the number of pneumonia cases remained similar to the number reported in the previous week and continued at interseasonal levels (Graph 5). / En la SE 9, se notificaron pocas detecciones de influenza con la circulación concurrente de los virus influenza A(H1N1) pdm09 e influenza B (Gráfico 1). El porcentaje de positividad de la influenza aumentó y tuvo un bajo nivel de actividad (Gráficos 1 y 3). Se informaron pocas detecciones de VRS, y el porcentaje de positividad de VRS disminuyó en comparación con la semana anterior a menos del 10% (Gráfico 2), con circulación concurrente de parainfluenza, rinovirus y metapneumovirus. A nivel nacional, el recuento de casos de IRAG entre todas las hospitalizaciones aumentó ligeramente y continuó en niveles interestacionales (Gráfico 4). A nivel nacional, el número de casos de neumonía se mantuvo similar al número reportado en la semana anterior y continuó en niveles interestacionales (Gráfico 5).

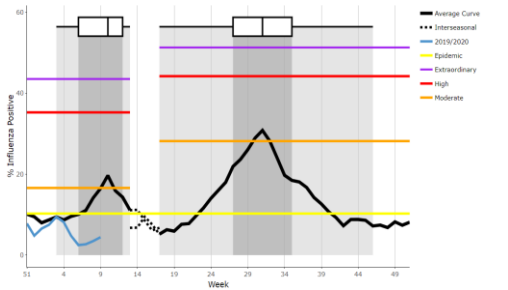
Graph 1. Peru: Influenza virus distribution, EW 9, 2015-20
Distribución de virus influenza, SE 9, 2015-20



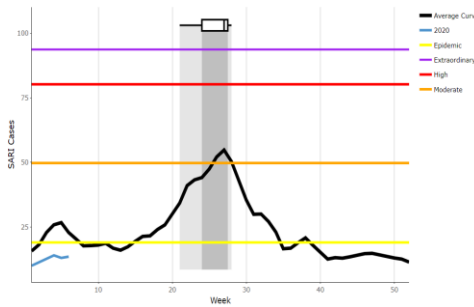
Graph 2. Peru: Influenza and RSV distribution, EW 9, 2015-20
Distribución de virus influenza y VRS, SE 9, 2015-20



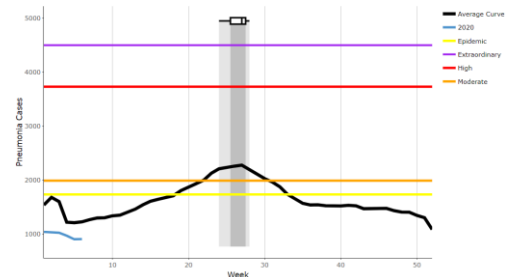
Graph 3. Peru: Percent positivity for influenza, EW 9, 2020
(compared to 2010-19)
Porcentaje de positividad de influenza, SE 9 de 2020
(comparado con 2010-19)



Graph 4. Peru: Number of SARI cases, EW 7, 2015-20
Número de casos IRAG, SE 7, 2015-20



Graph 5. Peru: Pneumonia cases in children under 5 years, EW 7, 2016-20
Casos de neumonía en niños menores de 5 años, SE 7, 2016-20

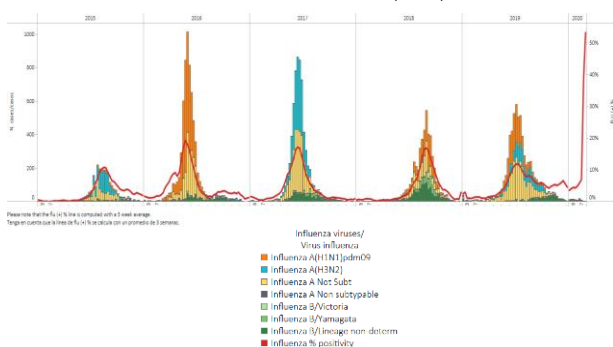


*To view more epi data, view [here](#). / Para ver más datos epi, vea [aquí](#).

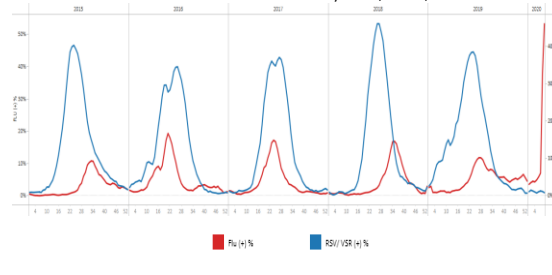
Argentina

- During 2020, few influenza detections have been reported, with influenza A and B viruses co-circulating in EW 9, influenza activity appears to be elevated due to the small number of samples analyzed. Influenza percent positivity slightly increased in comparison to the previous week and was above the average epidemic curve at low levels of activity (Graphs 1 and 3). No RSV detections were reported (Graph 2). The number of SARI and ILI cases decreased and were at interseasonal levels (Graphs 4 and 6). The number of pneumonia cases in children under 5 years trended downward and was above the average epidemic curve (Graph 5). / Durante 2020, se han reportado pocas detecciones de influenza, con los virus de influenza A y B circulando en la SE 9, la actividad de influenza parece estar elevada debido al pequeño número de muestras analizadas. El porcentaje de positividad de la influenza aumentó ligeramente en comparación con la semana anterior y estuvo por encima de la curva epidémica promedio a bajos niveles de actividad (Gráficos 1 y 3). No se informaron detecciones de VRS (Gráfico 2). El número de casos de IRAG y ETI disminuyó y se ubicó en niveles inter estacionales (Gráficos 4 y 6). El número de casos de neumonía en niños menores de 5 años mostró una tendencia descendente y estuvo por encima de la curva epidémica promedio (Gráfico 5).

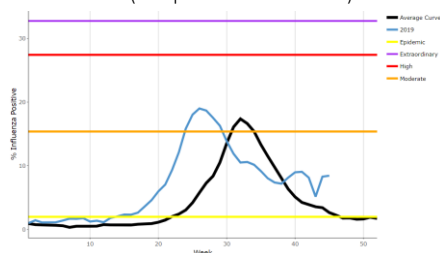
Graph 1. Argentina - Influenza virus distribution, EW 9, 2015-20
Distribución de virus influenza, SE 9, 2015-20



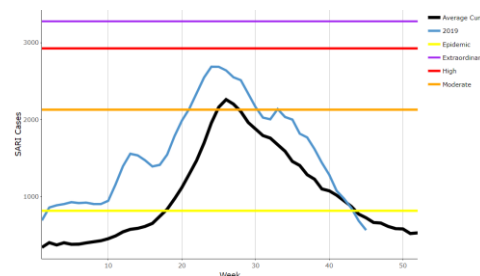
Graph 2. Argentina - Influenza and RSV distribution, EW 9, 2015-20
Distribución de virus influenza y VRS, SE 9, 2015-20



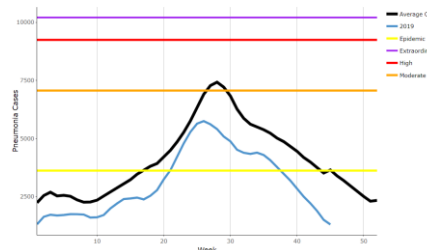
Graph 3. Argentina: Percent positivity for influenza, EW 46, 2019
(compared to 2010-18)
Porcentaje de positividad de influenza, EW 46 de 2019
(comparado con 2010-18)



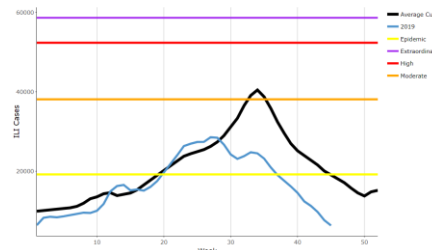
Graph 4. Argentina: Number of SARI cases, EW 46, 2015-19
Número de casos IRAG, SE 46, 2015-19



Graph 5. Argentina: Pneumonia cases in children under 5 years,
EW 46, 2019 (compared to 2016-18)
Casos de neumonía en niños menores de 5 años,
SE 46 de 2019 (comrado con 2016-18)



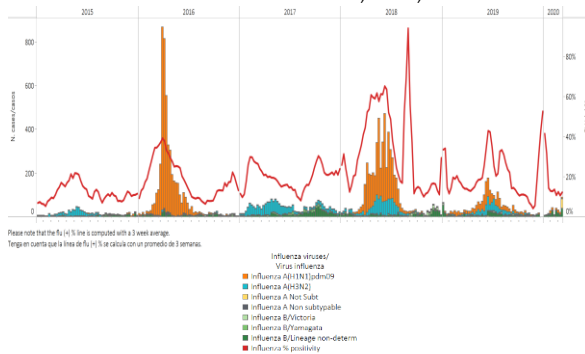
Graph 6. Argentina: Number of ILI cases, EW 46, 2019,
(compared to 2016-18)
Número de casos ETI, SE 46 de 2019
(comparado con 2016-18)



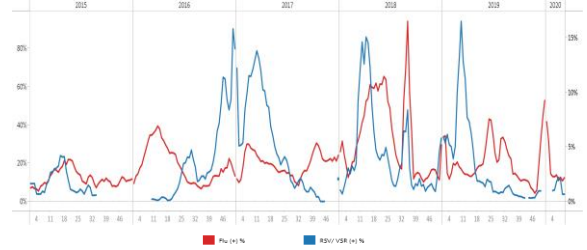
*To view more epi data, view [here](#). / Para ver más datos epi, vea [aquí](#).

- During EW 10, influenza detections increased in comparison to the previous week, with influenza A(H1N1)pdm09 and influenza B co-circulating; influenza percent positivity increased in comparison to the previous week which is higher for the same time period than in previous seasons and was at a moderate level of activity (Graphs 1 and 3). Few RSV detections were reported (Graphs 2 and 4), and rhinovirus, metapneumovirus, and coronavirus co-circulating. / En la SE 10, las detecciones de influenza aumentaron en comparación con la semana anterior, con la circulación concurrente de influenza A(H1N1)pdm09 e influenza B; el porcentaje de positividad de influenza aumentó en comparación con la semana anterior que es más alto para el mismo período que en temporadas anteriores y se ubicó a un nivel moderado de actividad (Gráficos 1 y 3). Se notificaron pocas detecciones de VRS (Gráficos 2 y 4) con la circulación concurrente de rinovirus, metapneumovirus y coronavirus.

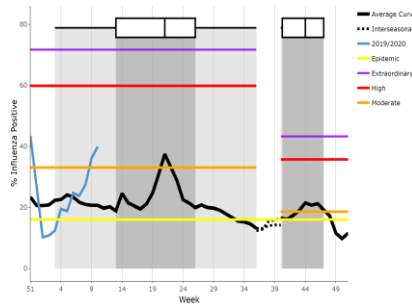
Graph 1. Brazil: All NICs. Influenza virus distribution, EW 10, 2015-20
Distribución de virus influenza, SE 10, 2015-20



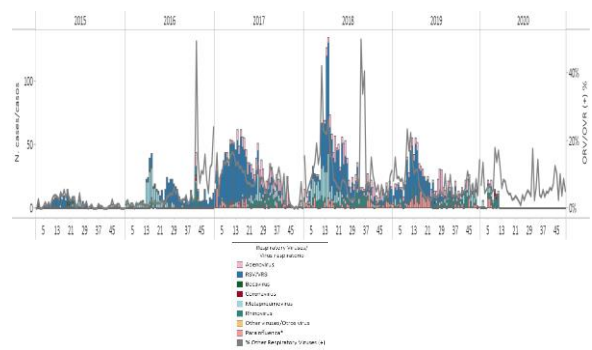
Graph 2. Brazil: All NICs. Influenza and RSV distribution, EW 10, 2015-20
Distribución de los virus influenza y VRS, SE 10, 2015-20



Graph 3. Brazil: Percent positivity for influenza, EW 10, 2020 (compared to 2011-18)
Porcentaje de positividad de influenza, SE 10 de 2020 (comparado con 2011-18)



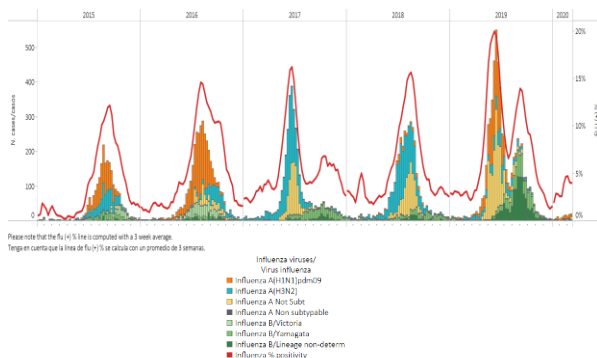
Graph 4. Brazil: All NICs. RSV and other respiratory viruses distribution, EW 10, 2015-20
Distribución del VRS y otros virus respiratorios SE 10, 2015-20



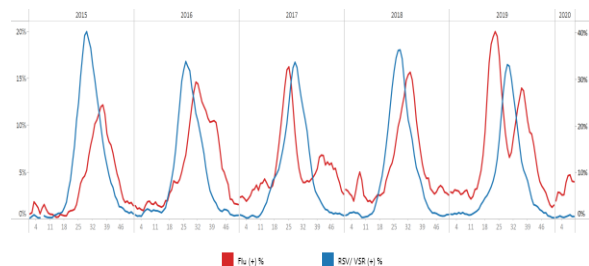
*To view more epi data, view [here](#). / Para ver más datos epi, vea [aquí](#)

- During EW 10, influenza A(H1N1)pdm09 and influenza B viruses co-circulating; influenza activity continues above the epidemic threshold and was at low levels (Graphs 1 and 3). RSV activity was low with few detections reported this week (Graph 2) and adenovirus, parainfluenza, and metapneumovirus co-circulating. In EW 10, ILI visits and SARI cases remained below the average curve (Graphs 4 and 5). / En la SE 10, circularon concurrentemente los virus influenza A(H1N1)pdm09 e influenza B; la actividad de influenza continua por encima del umbral epidémico y se ubicó en niveles bajos (Gráficos 1 y 3). La actividad del VRS estuvo baja con pocas detecciones reportadas esta semana (Gráfico 2) y la circulación concurrente de los virus adenovirus, parainfluenza y metapneumovirus. En la SE 10, las visitas por ETI y los casos de IRAG permanecieron por debajo de la curva epidémica promedio (Gráficos 4 y 5).

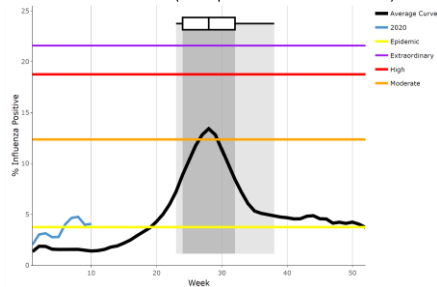
Graph 1. Chile: Influenza virus distribution, EW 10, 2015-20
Distribución de virus de influenza, SE 10, 2015-20



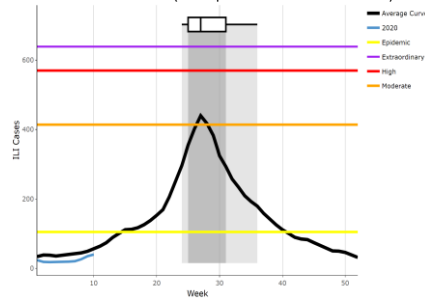
Graph 2. Chile: Influenza and RSV distribution, EW 10, 2015-20
Distribución de los virus influenza y VRS, SE 10, 2015-20



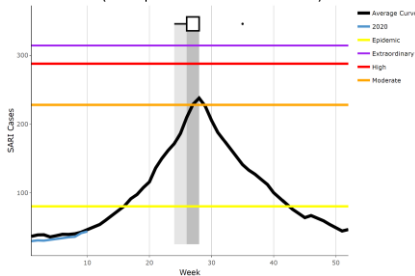
Graph 3. Chile: Percent positivity for influenza, EW 10, 2020
(compared to 2010-19)
Porcentaje de positividad de influenza,
SE 10 de 2020 (comparado con 2010-19)



Graph 4. Chile: Number of ILI visits in hospital ER,
EW 10, 2020 (compared to 2015-19)
Número de consultas por ETI en urgencias hospitalarias,
SE 10 de 2020 (comparado con 2015-19)



Graph 5. Chile: Number of SARI cases, EW 10, 2020
(compared to 2015-19)
Número de casos de IRAG, SE 10 de 2020
(comparado con 2015-19)

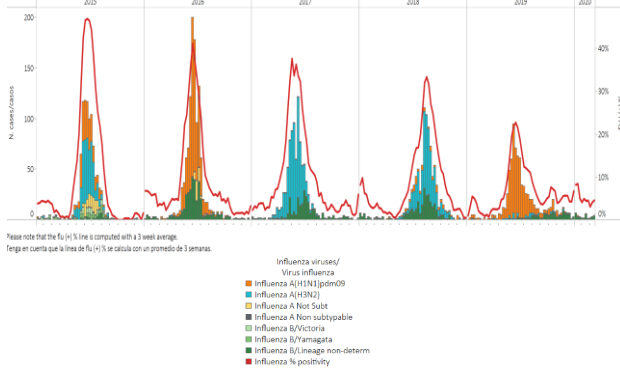


*To view more epi data, view [here](#). / Para ver más datos epi, vea [aquí](#).

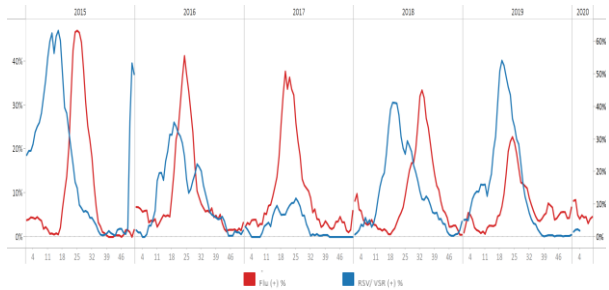
Paraguay

- During EW 10, 2020, few influenza detections were reported with influenza B virus circulating; influenza percent positivity slightly increased in comparison to the previous week and was above the average epidemic curve (Graphs 1 and 3). Since EW 3, no RSV detections have been reported (Graphs 2 and 4). The number of SARI cases and the ILI cases/1000 outpatients continued at interseasonal levels (Graphs 5 and 6). / Durante las SE 10 de 2020, se reportaron escasas detecciones de influenza con la circulación del virus influenza B; el porcentaje de positividad de influenza aumentó ligeramente en comparación con semanas anteriores y se ubicó por encima de la curva epidémica promedio (Gráficos 1 y 3). Desde la SE 3 no se han reportado detecciones de VRS (Gráficos 2 y 4). El número de casos de IRAG y los casos de ETI/1000 consultas continuaron en niveles interestacionales (Gráficos 5 y 6).

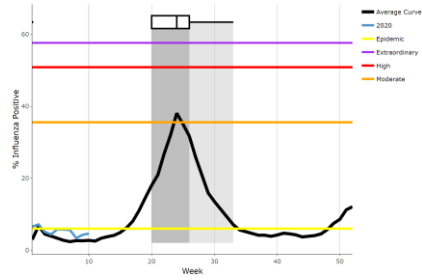
Graph 1. Paraguay: Influenza virus distribution EW 10, 2015-20
Distribución de virus de influenza, SE 10, 2015-20



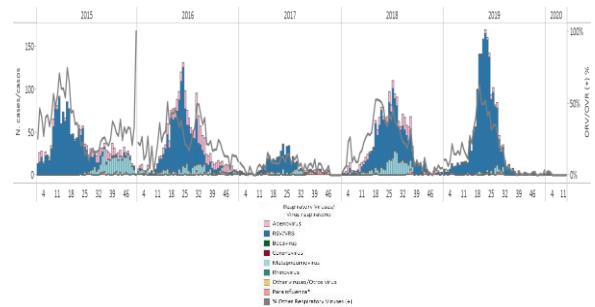
Graph 2. Paraguay: Influenza and RSV distribution, EW 10, 2015-20
Distribución de los virus influenza y VRS, SE 10, 2015-20



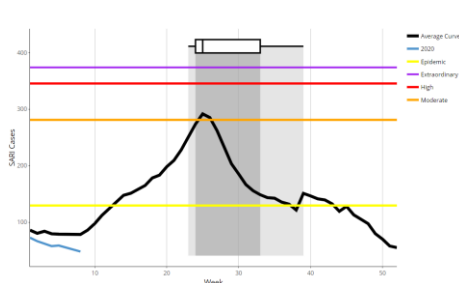
Graph 3. Paraguay: Baseline for the percent positivity for influenza, EW 10, 2020 (in comparison to 2011-19)
Línea basal para el porcentaje de positividad de influenza, SE 10 de 2020 (comparado con 2011-19)



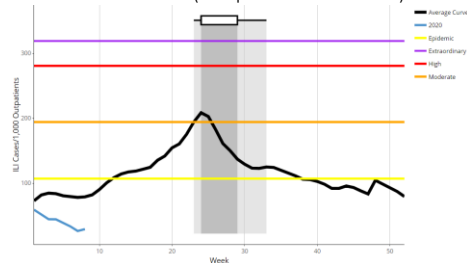
Graph 4. Paraguay: RSV and other respiratory viruses distribution, EW 10, 2015-20
Distribución del VRS y otros virus respiratorios SE 10, 2015-20



Graph 5. Paraguay: Number of SARI cases EW 9, 2020 (compared to 2015-19)
Número de casos de IRAG SE 9 de 2020 (comparado con 2015-19)



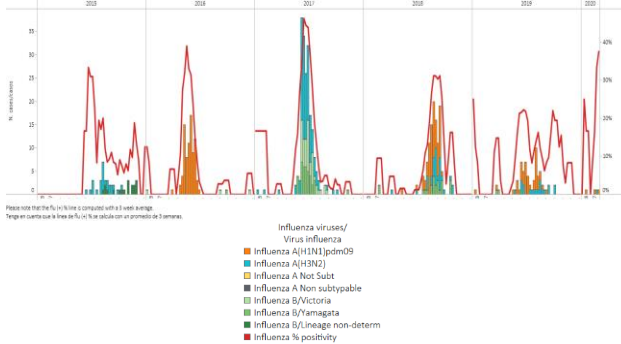
Graph 6. Paraguay: ILI cases/1000 outpatients, EW 9, 2020 (compared to 2015-19)
Casos de ETI por cada 1000 consultas ambulatorias, SE 9 de 2020 (comprado con 2015-19)



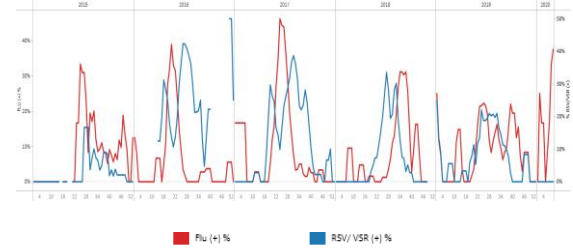
*To view more epi data, view [here](#). / Para ver más datos epi, vea [aquí](#).

- During EW 9, 2020, few influenza detections (one sample) were reported with influenza A(H1N1)pdm09 virus circulating. Influenza activity appears to be above the average epidemic curve at low level due to the small number of samples analyzed. RSV activity is at interseasonal levels with no detections reported (Graphs 1, 2, and 3). SARI cases/100 hospitalizations increased and remained below the average epidemic curve (Graph 4). / En la SE 9 de 2020, se notificaron pocas detecciones de influenza (una muestra) con la circulación del virus influenza A(H1N1)pdm09. La actividad de influenza parece estar por encima de la curva epidémica promedio en un nivel bajo debido al número pequeño de muestras analizadas. La actividad del VRS está en niveles inter estacionales sin detecciones reportadas (Gráficos 1, 2 y 3). Los casos de IRAG / 100 hospitalizaciones aumentaron y permanecieron por debajo de la curva epidémica promedio (Gráfico 4).

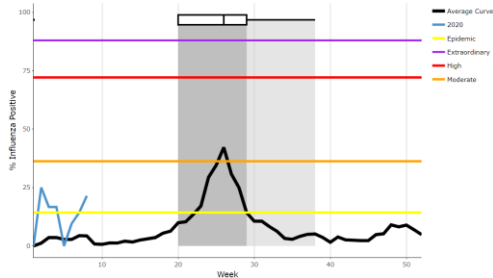
Graph 1. Uruguay: Influenza virus distribution EW 9, 2015-20
Distribución de virus de influenza, SE 9, 2015-20



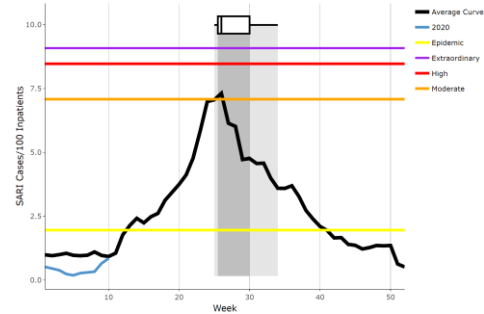
Graph 2. Uruguay: Influenza and RSV distribution, EW 9, 2015-20
Distribución de los virus influenza y VRS, SE 9, 2015-20



Graph 3. Uruguay: Percent positivity for influenza, EW 8, 2020
(compared to 2010-19)
Porcentaje de positividad de influenza, SE 8 de 2020
(comparado con 2010-19)



Graph 4. Uruguay: SARI cases/100 hospitalizations, EW 10, 2020 (compared to 2017-19)
Casos de IRAG/100 hospitalizaciones, SE 10 de 2020 (comparado con 2017-19)



*To view more epi data, view [here](#). / Para ver más datos epi, vea [aquí](#).

ACRONYMS

ARI	Acute Respiratory Infection
CARPHA	Caribbean Public Health Agency
CENETROP	Centro de Enfermedades Tropicales (Santa Cruz, Bolivia)
EW	Epidemiological Week
ILI	Influenza-like illness
INLASA	Instituto Nacional de Laboratorios de Salud (La Paz, Bolivia)
INS	Instituto Nacional de Salud
ORV	Other respiratory viruses
SARI	Severe acute respiratory infection
SEDES	Servicio Departamental de Salud (Bolivia)
ICU	Intensive Care Unit
RSV	Respiratory Syncytial Virus

ACRÓNIMOS

CARPHA	Agencia de Salud Pública del Caribe
CENETROP	Centro de Enfermedades Tropicales (Santa Cruz, Bolivia)
ETI	Enfermedad Tipo influenza
INLASA	Instituto Nacional de Laboratorios de Salud (La Paz, Bolivia)
INS	Instituto Nacional de Salud
IRA	Infección Respiratoria Aguda
IRAG	Infección Respiratoria Aguda grave
OVR	Otros virus respiratorios
SE	Semana epidemiológica
SEDES	Servicio Departamental de Salud (Bolivia)
UCI	Unidad de Cuidados Intensivos
VRS	Virus Respiratorio Sincitial